

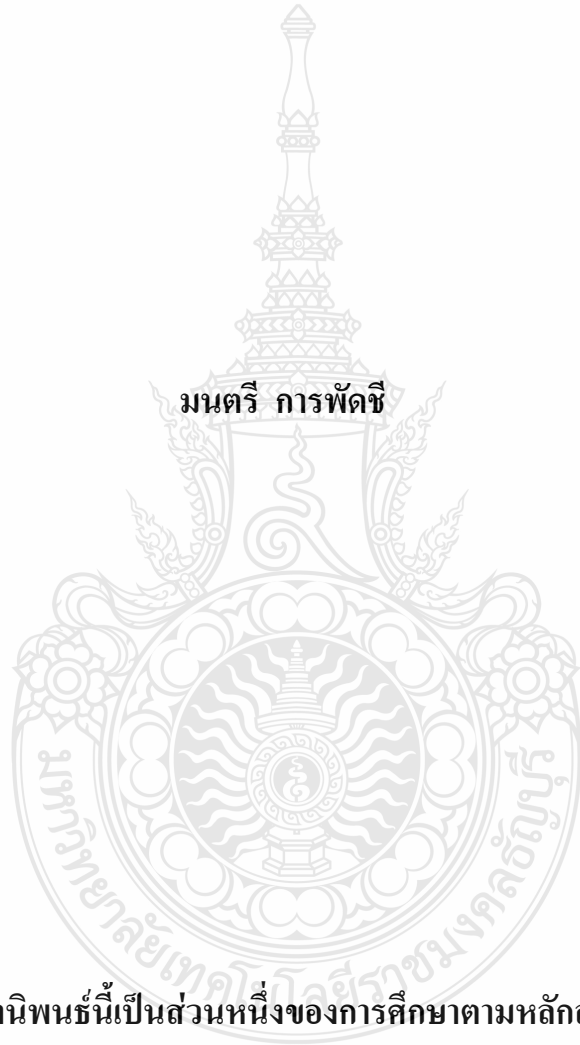
การศึกษาอิทธิพลของการเชื่อมประกบแผ่นวัสดุแซนวิช

INFLUENCE STUDY OF THE ADHESION FOR JOINING SANDWICH MATERIAL JOINT



วิทยานิพนธ์นี้เป็นส่วนหนึ่งของการศึกษาตามหลักสูตร
ปริญญาวิศวกรรมศาสตรมหาบัณฑิต สาขาวิชาวิศวกรรมการผลิต
คณะวิศวกรรมศาสตร์
มหาวิทยาลัยเทคโนโลยีราชมงคลล้านนา
ปีการศึกษา 2555
ลิขสิทธิ์ของมหาวิทยาลัยเทคโนโลยีราชมงคลล้านนา

การศึกษาอิทธิพลของการเชื่อมประกบแผ่นวัสดุแซนวิช



วิทยานิพนธ์นี้เป็นส่วนหนึ่งของการศึกษาตามหลักสูตร
ปริญญาวิศวกรรมศาสตร์มหาบัณฑิต สาขาวิชาวิศวกรรมการผลิต
คณะวิศวกรรมศาสตร์
มหาวิทยาลัยเทคโนโลยีราชมงคลธัญบุรี
ปีการศึกษา 2555
ลิขสิทธิ์ของมหาวิทยาลัยเทคโนโลยีราชมงคลธัญบุรี

หัวข้อวิทยานิพนธ์	การศึกษาอิทธิพลของการใช้เครื่องมือในการตัดแบบแผ่นวัสดุแซนวิช
ชื่อ - นามสกุล	นายมนตรี การพัสดุชี
สาขาวิชา	วิศวกรรมการผลิต
อาจารย์ที่ปรึกษา	ผู้ช่วยศาสตราจารย์ศิริชัย ต่อสกุล, Dr.-Ing.
ปีการศึกษา	2555

บทคัดย่อ

งานวิจัยนี้มีจุดประสงค์ในการศึกษาความต้านทานความเค้นเฉือนและความต้านทานความเก็บดักของโครงสร้างของวัสดุแซนวิชที่มีค่าเดาด้วยกันโดยการหาข้อมูล

วัสดุในการทดลองประกอบด้วยแผ่นเหล็กกล้ารีดร้อน SS400 โฟมพอลียูรีเทน และการชนิดต่างๆ โครงสร้างของวัสดุแซนวิชประกอบด้วยชั้นผิวด้านนอกที่ทำจากแผ่นเหล็กกล้า SS400 และวัสดุแกนกลางที่ทำจากโฟมพอลียูรีเทน ผิวสัมผัสของเหล็กและโฟมพอลียูรีเทนติดเข้าด้วยกันโดยใช้การที่มีความหนากำหนดเท่ากับ $200 \mu\text{m}$ ชั้นทดสอบที่ได้ถูกปล่อยให้แห้งที่อุณหภูมิห้องระยะเวลา 8 ชั่วโมงก่อนนำไปทำการทดสอบสมบัติทางกล การทดสอบทางกลเป็นการทดสอบมาตรฐานการทดสอบ ASTM C273 สำหรับการทดสอบความต้านทานความเค้นแรงเฉือน และการทดสอบความมาตรฐานการทดสอบ ASTM C393 สำหรับการทดสอบความต้านทานความเค้นดัด

ผลการวิจัยพบว่า ชนิดของกว่าสี่ผลทำให้ค่าความต้านทานแรงเฉือนของชั้นทดสอบมีการเปลี่ยนแปลงโดยแสดงค่าการทดสอบ $2,510, 2,360$ และ $2,300 \text{ N/mm}^2$ สำหรับการอีพอคซ์ ภาพพอลียูรีเทนและการนีโอลีฟรีน ตามลำดับ ค่าความต้านทานความเค้นดัดของชั้นทดสอบที่ผลิตจากการหาข้อมูลมีค่าเท่ากับ $694, 607$ และ 466 N/mm^2 สำหรับ การอีพอคซ์ ภาพพอลียูรีเทน การนีโอลีฟรีน ตามลำดับ ภาพทุกชนิดที่ใช้ในการทดลองสามารถใช้เป็นตัวประสานแผ่นเหล็กรีดร้อนและโฟมพอลียูรีเทนสำหรับการผลิตโครงสร้างวัสดุแซนวิช

คำสำคัญ : โครงสร้างวัสดุแซนวิช กาว ความต้านทานแรงเฉือน ความต้านทานความเค้นดัด

Thesis Title	Influence Study of The Adhesion for Joining Sandwich Material Joint
Name - Surname	Mr. Montree Karnpadshee
Program	Manufacturing engineering
Thesis Advisor	Assistant Professor Sirichai Torsakul, Dr.-Ing.
Academic Year	2012

ABSTRACT

This research work aims to study the shear stress resistance and a bending stress of the sandwich materials structure that were bonded by various type of glue.

The materials in this experiment were a hot rolled plate of SS400 steel, polyurethane foam and various glue types. The sandwich structure was composed of the outer layer that was SS400 steel plates and the core materials that was polyurethane foam. The interface of the steel plate and the polyurethane foam was bonded using different type of glue that had a specific thickness of 200 μm . The sandwich specimens that were produced by various process parameters were dried at the room temperature for 8 hours before mechanical testing. The mechanical testing of the specimen was performed by following ASTM C273 standard test method for the shear stress resistance and ASTM C393 standard test method for the bending stress resistance, respectively.

The research results found that the glue type affected varying the shear stress resistance of the experimental specimen with test results of 2,510, 2,360 and 2,300 N/mm² for epoxy glue, polyurethane glue and neoprene glue, respectively. The bending stress resistance of the experimental specimens that were produced by various glue type was 694, 607 and 466 N/mm² for epoxy glue, polyurethane glue and neoprene glue, respectively. All types of the experimental glue were able to bond the hot rolled steel plate and polyurethane foam for producing the sandwich materials structure.

Keywords: sandwich structure, glue, shear stress resistance, bending stress resistance

กิตติกรรมประกาศ

วิทยานิพนธ์ฉบับนี้สำเร็จได้ด้วยความเมตตากรุณาอย่างสูงจากที่ปรึกษาวิทยานิพนธ์ ผู้ช่วยศาสตราจารย์ ดร. ศิริชัย ต่อสกุล ประธานกรรมการ ดร. สมศักดิ์ อิทธิโสภณกุล กรรมการ วิทยานิพนธ์ ผู้ช่วยศาสตราจารย์ ดร. กิตติพงษ์ กิมพงษ์ และผู้ทรงคุณวุฒิ ที่กรุณาให้คำแนะนำ ให้คำปรึกษา ตลอดจนให้ความช่วยเหลือแก่ไขข้อบกพร่องต่างๆ เพื่อให้วิทยานิพนธ์ฉบับนี้มีความสมบูรณ์ผู้ช่วยศาสตราจารย์ ดร. พิชัย จันทร์มณี ซึ่งผู้วิจัยขอกราบขอบพระคุณเป็นอย่างสูงไว้ ณ โอกาสนี้

ขอขอบพระคุณคณาจารย์ทุกท่านที่ได้ประสิทธิ์ประสาทวิชา บ่มเพาะจนผู้วิจัยสามารถนำเอาหลักการมาประยุกต์ใช้และอ้างอิงในงานวิจัยครั้งนี้ นอกเหนือจากนี้ขอขอบคุณผู้บริหารมหาวิทยาลัยเทคโนโลยีราชมงคลธัญบุรี ที่มอบทุนสนับสนุนพัฒนาบุคลากรตลอดระยะเวลาในการศึกษาของผู้วิจัย และขอขอบคุณบุคลากรบัณฑิตวิทยาลัยทุกคนที่เป็นกำลังใจ และให้ความช่วยเหลือตลอดช่วงเวลาของการศึกษาและทำการวิจัย

คุณค่าอันพึงมีจากวิทยานิพนธ์ฉบับนี้ ขอขอบคุณบิดามารดา ครูอาจารย์ และผู้มีพระคุณทุกท่าน

มนตรี การพัฒนา

สารบัญ

	หน้า
บทคัดย่อภาษาไทย.....	๑
บทคัดย่อภาษาอังกฤษ.....	๒
กิตติกรรมประกาศ	๓
สารบัญ.....	๔
สารบัญตาราง.....	๕
สารบัญภาพ.....	๖
บทที่	
1 บทนำ	1
1.1 ความเป็นมาและความสำคัญของปัญหา	1
1.2 วัตถุประสงค์วิทยานิพนธ์.....	1
1.3 ขอบเขตของการศึกษา	2
1.4 ประโยชน์ที่จะได้รับ	2
2 ทฤษฎีและงานวิจัยที่เกี่ยวข้อง	3
2.1 กาว (Adhesive).....	3
2.2 การวิเคราะห์สารตัวอย่างที่เป็นของแข็ง (Solid Samples).....	16
2.3 โครงสร้างแซนวิช (Sandwich Structure).....	21
2.4 งานวิจัยที่เกี่ยวข้อง	27
3 วิธีดำเนินงานวิจัย	30
3.1 ขั้นตอนการดำเนินงานวิจัย	30
3.2 โฟมที่นำมาทำเป็นแกนกลาง (Core).....	32
3.3 แผ่นประกอบและล่าง (Face).....	32
3.4 การทดสอบสมบัติเชิงกลของภา	32
3.5 การเชื่อมประกบด้วยกาว	34
3.6 การทดสอบความเค้นเนื้อน (Shear Stress).....	37
3.7 การทดสอบความเค้นแรงดด (Bending Stress).....	39
4 ผลการทดลองและวิเคราะห์	40
4.1 ผลการทดลอง	40

สารบัญ (ต่อ)

บทที่	หน้า
4.2 วิเคราะห์ผลการทดลอง.....	47
5 สรุปผลการทดลอง.....	51
5.1 สรุปผลวิจัย	51
5.2 ข้อเสนอแนะ	52
รายการอ้างอิง.....	53
ภาคผนวก.....	55
ภาคผนวก ก ผลงานตีพิมพ์เผยแพร่	56
ประวัติผู้เขียน.....	64



สารบัญตาราง

ตารางที่	หน้า
2.1 องค์ประกอบของงานนีโอพรีน	4
2.2 ปริมาณความร้อนที่ใช้ในการกลาญเป็นไอ	5
2.3 องค์ประกอบพื้นฐานของการอะไครเลต	10
3.1 คุณสมบัติเชิงกลของเหล็กรีดร้อน SS400	32
4.1 ค่าความเก็บเสื่อมของกาวอีพอกซี่ (Epoxy)	40
4.2 ค่าความเก็บเสื่อมของกาวโพลียูรีเทน	41
4.3 ค่าความเก็บเสื่อมของกาวนีโอพรีน	41
4.4 ค่าความเก็บดัดของกาวอีพอกซี่	42
4.5 ค่าความเก็บดัดของกาวโพลียูรีเทน	43
4.6 ค่าความเก็บดัดของกาวยางนีโอพรีน	43



สารบัญภาพ

ภาคที่	หน้า
2.1 อีพอกซี่เรซิنجการค้าที่มีองค์ประกอบพื้นฐานเป็น DGEBA.....	7
2.2 เตตระไกลซิดิ ไดอะมิโนไดฟินิลเมเทน (Tetraglycidyl Diaminodiphenylmethane).....	7
2.3 ปฏิกิริยาของไพรามารีเอมีนกับอีพอกซี่ 2 หมู่	8
2.4 สารเชื่อมขวางเօมีนชนิดอะลิฟิติก.....	8
2.5 สารเชื่อมขวางเօมีนชนิดอะโรมาติก.....	9
2.6 ปฏิกิริยาระหว่างฟีนอลและฟอร์มัลดีไฮด์ได้ผลิตภัณฑ์เป็นริโซล	9
2.7 ปฏิกิริยาการสังเคราะห์พอลิเออมีน	12
2.8 ตัวอย่างการเกิดกระบวนการเชื่อมขวางของการอีพอกซี่กับพอลิฟังก์ชันนัลเօมีน	14
2.9 กลไกการเกิด ปฏิกิริยาเชื่อมขวางด้วยแสง	16
2.10 ชนิดของวัสดุแซนวิช.....	22
2.11 การเปรียบเทียบความแข็งแรงต่อน้ำหนักของวัสดุแซนวิช	22
2.12 พฤติกรรมการรับแรงของวัสดุแซนวิช.....	23
2.13 โครงสร้างรถไฟฟ้า MRT ที่ผลิตจากวัสดุแซนวิช	24
2.14 Sign Convention สำหรับวัสดุแซนวิช	25
2.15 ลักษณะความเค้นแรงดึง-แรงดัดและความเค้นเฉือน	26
2.16 การเปลี่ยนรูปของวัสดุแซนวิชภายใต้ความเค้นเฉือน	27
3.1 ชนิดของการอีพอกซี่.....	30
3.2 ชนิดของการโพลียูรีเทน	31
3.3 ชนิดของการยางนิโอลิฟrin	31
3.4 โพลียูรีเทนโฟมที่นำมาทำเป็นแกนกลาง (Core).....	32
3.5 ชิ้นทดสอบความเค้นเฉือนตามมาตรฐาน ASTM C273.....	33
3.6 ชิ้นทดสอบความเค้นดัดตามมาตรฐาน ASTM C393.....	33
3.7 ทำความสะอาดชิ้นงานด้วยสารละลายอะซิโตน	34
3.8 การทดสอบของการที่เป็นแบบ Two-Component Resins	34
3.9 อุปกรณ์ควบคุมความหนาในการทากรา 200 μm	35
3.10 การทากราให้ได้ความหนา 200 μm	35
3.11 ชิ้นงานที่ทำการแด๊ว	35

สารบัญภาพ (ต่อ)

ภาพที่	หน้า
3.12 ประกอบโครงสร้างวัสดุแซนวิช	36
3.13 การอัดประสานด้วยเครื่องอัดไฮดรอลิก	36
3.14 ขั้นทดสอบที่ประกอบเป็นโครงสร้างวัสดุแซนวิช ตามมาตรฐาน ASTM C273	36
3.15 ขั้นทดสอบที่ประกอบเป็นโครงสร้างวัสดุแซนวิช ตามมาตรฐาน ASTM C393	37
3.16 เครื่องทดสอบแรงเฉือนและแรงดัด GOTECH	38
3.17 การติดตั้งขั้นงานทดสอบความเค้นเฉือน	39
3.18 การติดตั้งขั้นงานทดสอบความเค้นดัด	39
4.1 การเสียหายของขั้นทดสอบความเค้นเฉือนที่เชื่อมประกนด้วยการอีพอกซี่	44
4.2 การเสียหายของขั้นทดสอบความเค้นเฉือนที่เชื่อมประกนด้วยการโพลียูรีเทน	44
4.3 การเสียหายของขั้นทดสอบความเค้นเฉือนที่เชื่อมประกนด้วยการนีโอพรีน	45
4.4 การเสียหายของขั้นทดสอบความเค้นดัดที่เชื่อมประกนด้วยการอีพอกซี่	45
4.5 การเสียหายของขั้นทดสอบความเค้นดัดที่เชื่อมประกนด้วยการโพลียูรีเทน	46
4.6 การเสียหายของขั้นทดสอบความเค้นดัดที่เชื่อมประกนด้วยการยางนีโอพรีน	46
4.7 เปรียบเทียบค่าเฉลี่ยความเค้นเฉือนของการอีพอกซี่ การโพลียูรีเทนและการยางนีโอพรีน	47
4.8 เปรียบเทียบค่าเฉลี่ยแรงดัดของการอีพอกซี่ การโพลียูรีเทน และการยางนีโอพรีน	48
4.9 ความเสียหายของขั้นทดสอบภายใต้สภาวะความเค้นเฉือน	49
4.10 ความเสียหายของขั้นทดสอบภายใต้สภาวะความเค้นดัด	49

บทที่ 1

บทนำ

1.1 ความเป็นมาและความสำคัญของปัญหา

วัสดุแซนวิช มีการใช้งานวัสดุมาตั้งแต่สังคมโลกครั้งที่ 2 แต่ได้รับความนิยมในการนำมาสร้างโครงสร้างของเรือ ซึ่งปัจจุบันนี้วัสดุแซนวิชถูกนำมาใช้กันอย่างแพร่หลายในอุตสาหกรรมยานพาหนะ เพื่อการคมนาคมขนส่งตัวอย่างเช่น เครื่องบินแอร์บัส A380 ซึ่งเป็นเครื่องบินขนาดใหญ่ที่สุดของโลก ได้นำเอาเทคโนโลยีวัสดุวัสดุแซนวิชมาทำโครงสร้างของลำตัวเครื่องบิน หรือ รถไฟฟ้าความเร็วสูง ICE (450 กิโลเมตร/ชั่วโมง) ของประเทศเยอรมันนี วัสดุแซนวิชถูกนำมาสร้างลำตัวของรถไฟฟ้า สำหรับรถยนต์ เช่น Mercedes-Benz A-Class หรือ Audi A6 ก็ได้นำวัสดุแซนวิชมาใช้ทำแผ่นรองฐานด้านล่าง เป็นต้น

สำหรับในประเทศไทยแล้วตัวอย่างผลิตภัณฑ์ที่ทำมาจากวัสดุแซนวิช คือ รถไฟฟ้าได้ดิน (MRT) ซึ่งผลิตจากประเทศเยอรมันนี แต่ชินส่วนถุงผลิตขึ้นจากประเทศอสเตรีย ซึ่งชินส่วนนั้นคือโครงสร้างลำตัวของรถไฟฟ้า

โครงสร้างแซนวิช (Sandwich Structure) เป็นโครงสร้างประเภทหนึ่งของวัสดุเชิงประกอบ (Composite Material) ซึ่งประกอบด้วยแผ่นประกอบด้านบนและด้านล่าง (Faces) มีความบางแต่มีความแข็งแรงสูง ส่วนแกนกลาง (Core) เป็นวัสดุอ่อน [1] วัสดุแซนวิชถูกนำมาประยุกต์ใช้เพื่อเพิ่มความแข็งแกร่ง และความแข็งแรงของโครงสร้าง โดยมีคุณสมบัติเด่นคือ มีโครงสร้างเบา (Lightweight Construction) แผ่นประกอบรับความเค้นดึง และความเค้นอัด ส่วนแกนกลางรับความเค้นเฉือนเท่านั้น [2]

โดยทั่วไปโครงสร้างของวัสดุแซนวิชจะถูกใช้เมื่อประกอบด้วยการอีพอกซี่เป็นส่วนใหญ่ ดังนั้นในงานวิจัยนี้จึงได้นำการชนิดต่างๆที่มีขายทั่วไปในท้องตลาด มาทำการวิจัยเพื่อให้ได้การที่ดีที่สุดในการใช้เมื่อประกอบของวัสดุแซนวิช ว่ามีการชนิดไหนบ้างที่ใช้กับโครงสร้างวัสดุแซนวิช

1.2 วัตถุประสงค์วิทยานิพนธ์

- 1.2.1 เพื่อศึกษาการต้านทานความเค้นเฉือนของการในโครงสร้างวัสดุแซนวิช
- 1.2.2 เพื่อศึกษาการต้านทานความเค้นดัดของการในโครงสร้างวัสดุแซนวิช
- 1.2.3 เพื่อศึกษาการใช้เมื่อประกอบของการในวัสดุต่างชนิดกัน

1.3 ขอบเขตของการศึกษา

1.3.1 การที่ใช้ในการศึกษามี 3 ประเภท

1) การอีพอกซี่ (Epoxy)

1. การอีพอกซี่แบบแห้งช้า
2. การอีพอกซี่แบบทนเคมี
3. การอีพอกซี่แบบทนนาน

2) การโพลียูริเทน (Polyurethan Glue)

1. การโพลียูริเทนแบบผสมโพลูอีน
2. การโพลียูริเทนแบบไม่ผสมโพลูอีน
3. การโพลียูริเทนแบบ Two-Component Resins

3) การยางนีโอพรีน (Neoprene Rubber Glue)

1. การยางนีโอพรีนแบบผสมโพลูอีน
2. การยางนีโอพรีนแบบไม่ผสมโพลูอีน
3. การยางนีโอพรีนแบบ Two-Component Resins.

4) แผ่นประกับบนและล่าง (Face) ทำจากเหล็กรีดร้อน SS400 มี 2 ขนาด

1. ขนาด กว้าง 75 มม. ยาว 320 มม. และหนา 16 มม. ตามมาตรฐาน ASTM C297
2. ขนาด กว้าง 75 มม. ยาว 400 มม. และหนา 1 มม. ตามมาตรฐาน ASTM C393

1.3.2 ศึกษาสมบัติทางกลของกาว

- 1) การทดสอบความด้านทานแรงเฉือน (Shear Strength) ตามมาตรฐาน ASTM C297
- 2) ทดสอบความด้านทานแรงดัด (Bending Strength) ตามมาตรฐาน ASTM C393

1.4 ประโยชน์ที่จะได้รับ

1.4.1 สามารถทราบถึงการเชื่อมประกับแบบใช้กาวได้

1.4.2 สามารถนำผลที่ได้จากการทดลองไปเลือกใช้กาวที่เหมาะสมได้

1.4.3 สามารถทราบถึงการเชื่อมประกับแบบใช้กาวของวัสดุต่างชนิดกันได้

1.4.4 เพื่อเป็นแนวทางในการศึกษาสำหรับผู้ที่สนใจในการศึกษาวิจัยพัฒนาคุณสมบัติของวัสดุ เช่นวิชต่อไป

บทที่ 2

ทฤษฎีและงานวิจัยที่เกี่ยวข้อง

2.1 กาว (Adhesive) [3-4]

หมายถึง วัสดุที่ใช้ซ่อนแซม หรือติดวัตถุสองชิ้นเข้าด้วยกัน ซึ่งเมื่อทากาวลงบนพื้นผิวของวัตถุสองชิ้นแล้วทำให้วัตถุสองชิ้นติดกันและทนทานต่อการแยกวัตถุสองชิ้นออกจากกัน และบางกรณีอาจรวมถึงวัสดุบางประเภทที่ไม่จัดว่าเป็นกาว เช่น มอร์ต้าและเหล็กผสม ซึ่งไม่จดอยู่ในสารประเภทเดียวกันกับการแต่มีลักษณะของการติดแน่นอยู่ด้วยกัน และการอาจรวมถึงสีและหมึกพิมพ์

องค์ประกอบของกาวส่วนใหญ่เป็นโพลิเมอร์อินทรี หรือบางกรณีจะมีสารประกอบหนึ่งหรือมากกว่าที่สามารถทำปฏิกิริยาเคมีกันแล้วได้เป็นโพลิเมอร์ กาวที่นำไปใช้งานมักเป็นของเหลว และจะขึ้นตัวกันได้เมื่อไม่เลกฤทธิ์กันมากขึ้น มีลักษณะเป็นสารข้นหนืด และแข็งติดกันเป็นของแข็งที่สุด ยกเว้นกรณีของการชนิดที่ไวต่อความดันจะไม่แข็งยังเป็นของเป็นของเหลว เช่นเดิม

กาวสามารถแบ่งประเภทตามลักษณะวิธีการแข็งตัวของกาว ซึ่งอาจเกิดจากการระเหยของตัวทำลาย การระเหยของน้ำ การเย็นลง หรือเกิดปฏิกิริยาเคมี โดยในการแข็งตัวแต่ละครั้งโพลิเมอร์ที่อยู่ในความสามารถเป็นแบบโซลูชันหรือแบบโกรงตาข่าย 3 มิติได้ และการที่เป็นโกรงตาข่าย 3 มิติ จะทำให้โพลิเมอร์ทันต่อการละลาย การหลอมเหลว และลดการคีบ (Creep) ได้เป็นอย่างดี กระบวนการเชื่อมห่วงเป็นโกรงสร้าง 3 มิติของกาวเกิดขึ้นภายในระบบของกาว และจะเกิดการยึดเกาะที่จุดตั้มผัสด้วยกับพื้นผิวโดยมีแรงแวนเดอร์ วัลว์เป็นส่วนที่ทำให้เกิดการยึดเกาะกันเนื่องจากเป็นแรงดึงดูดระหว่างอะตอมและโมเลกุล ประเภทของการแบ่งตามกระบวนการเชื่อมห่วงได้เป็น 4 ประเภท ดังนี้

2.1.1 กาวที่เกิดกระบวนการเชื่อมห่วงโดยการระเหยของตัวละลาย (Adhesives Which Harden by Loss of Solvent)

กาวที่ไปที่รู้จักกันดีคือการชนิดที่ผสมสารละลายของโพลิเมอร์ในตัวทำลายอินทรี พื้นผิวสองชนิดเกิดพันธะต่อกันได้เนื่องจากกระบวนการระเหยของตัวทำลายและทำให้พื้นผิวทั้งสองกดอัดเข้าด้วยกันและยึดเกาะกัน เช่น กาวนีโอพรีน (Neoprene, Polychloroprene) ซึ่งมีความเหนียวที่ดี เกิดพันธะได้เร็วและแข็งแรง รวมถึงทนต่อน้ำมันและสารเคมี โดยองค์ประกอบของกานีโอพรีนแสดงดังตารางที่ 2.1

โพลิกลอโรพรีนเป็นองค์ประกอบหลักของการนีโอพรีนซึ่งไม่เสถียรและสามารถเสื่อมสภาพเป็นไฮโดรเจนคลอโรคิดอิสระโดยออกไซด์ของโลหะ สารต้านอนุมูลอิสระจะช่วยลดการเสื่อมสภาพของคลอโรพรีนได้ เรซินมีความแข็งแรงในการยึดเกาะดีขึ้นโดยใช้ไฮโฉไซยาเนต

(Diisocyanate, e.g. Diphenylmethane Diisocyanate, DDM) ซึ่งเป็นสารเชื่อมขาวเพียง 1 – 25% สารเชื่อมขาวนี้จะทำปฏิกิริยากับไฮโดรเจนที่ว่องไวต่อปฏิกิริยา แต่ยังไม่สามารถระบุได้ชัดเจนว่าเกิดผ่านกลไกใด การนีโอพรีนมักใช้เป็นการทาสันร่องเท้า กาวอุดเรือ และเป็นตัวเชื่อมระหว่างยางกับโลหะ

ตารางที่ 2.1 องค์ประกอบของการนีโอพรีน [3]

องค์ประกอบ	ส่วนในร้อยส่วนของเรซิน (phr)
โพลิคลอโรพรีน (Polychloroprene)	100
แมกนีเซียมออกไซด์ (Magnesium oxide)	4 – 8
ซิงค์ออกไซด์ (Zinc oxide)	5
สารต้านอนุมูลอิสระ (Antioxidant: Buylate Hydroxytoluene, BTH)	2
เรซิน (P-Tert-Butyl Phenolics)	30 – 50
ตัวทำละลาย (สารละลายผสมของอะซิโตน เอกเซน และไทรคลอฟอร์)	600

2.1.2 การที่เกิดกระบวนการเชื่อมขาวโดยการระเหยของน้ำ (Adhesives which Harden by Loss of Water)

การชนิดนี้ผลิตมาเพื่อตอบสนองการควบคุมความปลดออกซิเจนในด้านสุขภาพและสิ่งแวดล้อม ที่ต้องการลดหรือกำจัดการใช้ตัวทำละลายที่ใช้ในการซึ่งในอุตสาหกรรมการได้พัฒนาระบบของการโดยใช้น้ำเป็นตัวทำละลายแทนตัวทำละลายอินทรีย์ต่างๆ อย่างไรก็ตามยังพบปัญหาในเรื่องของอัตราการระเหยข้างของน้ำเนื่องจากน้ำใช้ความร้อนสูง (High Enthalpy) ในการระเหยภายในร่างกายเป็นไอ (Vaporization) บริมาณความร้อนที่ใช้ในการก่อการระเหยของน้ำกับสารละลายอินทรีย์แสดงดังตารางที่ 2.2 และอีกหนึ่งปัญหาที่พบคือหลังจากแห้งแล้วสามารถดูดซับน้ำได้ดี และไวด้วยการสัมผัสกับน้ำทำให้ร่อรอยต่อไม่แข็งแรง

ตารางที่ 2.2 ปริมาณความร้อนที่ใช้ในการกலายเป็นไอ [3]

ตัวทำละลาย	$\Delta H_v / Jg^{-1}$
น้ำ (Water)	2440
อะซิโตน (Acetone)	534
เอทิลอะซิเตท (Ethyl Acetate)	404
헥แซน (N - Hexane)	508
โทลูอีน (Toluene)	413

1) สารละลายน้ำและแป้งเปียก (Water Solutions and Pastes)

แป้งมีราคาถูกและหาได้ง่าย ซึ่งแป้งข้าวโพดเป็นแหล่งที่มาหลักสำหรับใช้ผลิตการโดยการที่ได้จากแป้งข้าวโพดส่วนใหญ่มากใช้กับกระดาษ กระดาษ และเส้นใย รวมถึงติดกระดาษลูกฟูก ถุงกระดาษ กระดาษบุพนังและเพดาน (Wallpaper)

2) กาวลาเท็กซ์ (Latex Adhesives)

กาวลาเท็กซ์เป็นการที่ได้จากการทำปฏิกิริยาแบบอีมัลชัน (Emulsion Polymerisation) ซึ่งมีลักษณะเป็นของเหลวข้นสีขาว ประกอบด้วยอนุภาคของพอลิเมอร์ สารคงสภาพที่นิยมใช้เป็นสารลดแรงตึงผิวน้ำและออกไออกอน โดยมีอีมัลชันจะมีเส้นผ่าศูนย์กลางของอนุภาคประมาณ 1 ไมโครเมตร และมีปริมาณน้ำ 50 – 55% พอลิเมอร์ลาเท็กซ์มักมีส่วนผสมของพอลิไวนิลอะซิเตท (PVA) นิยมใช้เป็นทั้งสารเคลือบผิวและการ โดยจะป้ายกาวลาเท็กซ์ลงบนพื้นผิวและเกิดเป็นฟิล์มบางเมื่อน้ำระเหยไปอุณหภูมิต่ำที่สุดที่กาวลาเท็กซ์สามารถเกิดฟิล์มได้เรียกว่าอุณหภูมิต่ำสุดในการเกิดฟิล์ม (Minimum Film-Forming Temperature, MFT) ซึ่งเป็นอุณหภูมิที่ใกล้กับอุณหภูมิเปลี่ยนสถานะคล้ายแก้วมาก

กาวลาเท็กซ์บางครั้งรู้จักกันในชื่อการสำหรับไม้เป็นกาวพีวีโอ (PVA latex) ในกรณีนี้ กาวจะแข็งโดยการเคลื่อนที่ของน้ำเข้าไปในช่องว่างของไม้ และเพื่อลดความแข็งประจำของการทำได้โดยการใส่สารเพิ่มความเป็นพลาสติก (Plasticizer) ชนิดพลาทาเลท และเนื่องจากการนิดนี้เป็นการที่ໄວต่อการสัมผัสน้ำจึงเหมาะสมที่จะใช้สำหรับงานในร่มเท่านั้น ตัวอย่างอื่น เช่น ก้อปปีเด็กซ์ (Copydex) ที่เป็นกาวจากยางธรรมชาติที่ใช้แอลูมิเนียมเป็นสารทำให้harden by Cooling

2.1.3 การที่เกิดกระบวนการเชื่อมขวางโดยการทำให้เย็นลง (Adhesives which Harden by Cooling)

กาวหลอมเหลวด้วยความร้อนเป็นหนึ่งในวัสดุที่ใช้งานในลักษณะของเหลวร้อน และสร้างพันธะได้อย่างรวดเร็วเมื่อยืดตัวลง สามารถใช้งานได้กับกระดาษ กระดาษ ไม้ และพลาสติกบางชนิด

แต่จะมีข้อจำกัดในเรื่องของการใช้งานกับโลหะเป็นตัวนำความร้อนที่ดีและรวดเร็วจะทำให้การแข็งตัวได้น้อยลง

1) เอทิลีนไวนิลอะซิเตท (Ethylene Vinyl Acetate Hot Melts, EVA)

พอลิเมอร์ผสมแบบสุ่มนิคเอทิลีนไวนิลอะซิเตท (EVA) จะประกอบด้วยไวนิลอะซิเตทอยู่ 30% ซึ่งผลของการเติมไวนิลอะซิเตท (VA) ในพอลิเอทิลีนเพื่อที่จะลดความเป็นผลึกและเพิ่มความมีข้าวให้กับพอลิเอทิลีน โดยความหนืดเมื่อหลอมจะขึ้นอยู่กับน้ำหนักโมเลกุล การเติมสารเพิ่มความเหนียว (Tackifiers) จะทำให้ความหนืดลดลงและทำให้ยึดติดกับพื้นผิวสัมผัสดูได้ชัดขึ้น นอกจากนี้สามารถเติมปิ่งเพื่อเป็นการลดต้นทุนและลดความหนืดของภาชนะได้ ในขณะที่สารเพิ่มเนื้อ (Fillers) เช่น แคลเซียมคาร์บอนेट (Calcium Carbonate) สามารถลดต้นทุนได้แต่จะทำความหนืดของภาชนะลดลง

การชนิดนี้จำเป็นต้องเติมสารต้านอนุมูลอิสระเพื่อป้องกันการเสื่อมสภาพของการระหว่างการนำไปใช้งานและเพื่อยืดอายุการใช้งาน สารต้านอนุมูลอิสระที่นิยมใช้ได้แก่ บิวทิเลต ไฮดรอกซิโทลูอีน (Butylated Hydroxytoluene, BHT) แต่เนื่องจากเป็นสารระเหยกล่ายเป็นไอได้รวดเร็วจากการร้อนของการที่หลอมด้วยความร้อน การชนิดนี้มักใช้งานกับกล่องกระดาษแข็ง หนังสือเย็บเล่ม การขายอบกระดาษ เป็นต้น

2) พอลิเอไมค์ (Polyamide Hot Melts)

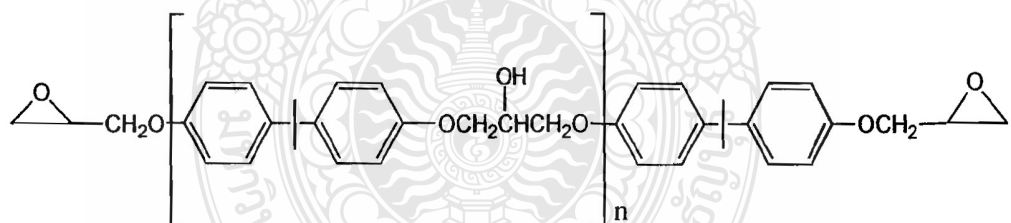
การพอลิเอไมค์ที่หลอมด้วยความร้อนมีจุดหลอมเหลวต่ำกว่าไนلونทั้งนี้ผลมาจากการผสมมอนโนเมอร์ทำให้พันธะไฮดรอเจนระหว่างสายโซ่ของหมู่ N-H—O=C ลดลง การพอลิเอไมค์สามารถทนต่อความร้อน ได้ดีกว่าการเอทิลีนไวนิลอะซิเตทแต่มีราคาสูงกว่า นอกจากนี้ยังมีความเหนียวดีกว่าการเอทิลีนไวนิลอะซิเตทโดยไม่จำเป็นต้องใช้สารปรับแต่ง

2.1.4 การที่เกิดกระบวนการเชื่อมขวางโดยการเกิดปฏิกิริยาเคมี (Adhesives which Harden by Chemical Reaction)

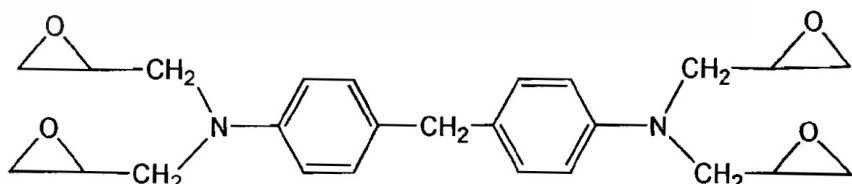
1) อีพอกซี่ (Epoxy)

การอีพอกซี่เป็นการที่รู้จักและใช้งานกันอย่างแพร่หลายสำหรับงานโครงสร้าง หรืองานที่เกี่ยวกับการก่อสร้าง โดยตัวอีพอกซี่เรซินที่ใช้ในทางการค้ามีเพียงไม่กี่ชนิดแต่สามารถผสมกับสารทำให้แข็ง (Hardeners) ได้หลากหลายชนิด เช่น เอมีน (Amines) และ กรดแอนไฮดริด (Acid Anhydrides) จัดอยู่ในประเภทการสังเคราะห์พลาสติกแบบร้อนเมชตติ้ง (Thermosetting Type) การชนิดนี้มีข้อดี คือ ปราศจากสารระเหยเมื่อเกิดการเชื่อมขวางเป็นของแข็งและมีการหดตัวต่ำ แต่มีข้อเสีย คือ ระยะเวลาก่อตัวผิวหนัง อีพอกซี่เรซินส่วนมากที่ใช้ในทางการค้ามีองค์ประกอบพื้นฐานเป็นไนโตรเจน

ซิคิลอีเทอร์ของบิสฟีโนเลอ (Diglycidylether of Bisphenol-A, DGEBA) ดังแสดงในภาพที่ 2-1 เมื่อ n มีค่าประมาณ 0.2 โดยที่ผลิตภัณฑ์ทั่วไปมีลักษณะเป็นของเหลว โครงสร้างตัวอย่างอีพอกซี่เรซินทางการค้าอื่นๆ ดังแสดงในภาพที่ 2.1 การอีพอกซี่เป็นกาวที่มีสมบัติในการติดประสานดีเยี่ยม มีความแข็งแรงในการยึดประสานสูงมากน้ำไปใช้ในงานอุตสาหกรรม อาคารayan และอุตสาหกรรมหัวไปเรซินอีพอกซี่ (Eposy-EP) ได้ชื่อมากจากกลุ่มอีพอกไซด์ (Cyclic คำว่า cyclic หมายถึง กลุ่มนี้เป็นไม่เลกูรูปห่วงสามเหลี่ยม) ที่มีต่ออยู่ท้ายไม่เลกูล ออกซิเจนที่อยู่ในใช้คาร์บอนและกลุ่มอีพอกไซด์ที่อยู่ที่ปลายใช้คาร์บอนทำให้เรซินอีพอกซี่มีสมบัติที่เป็นประทัยน้ำมากมาย อีกพอกซี่หนึ่งยา ทนต่อการสึกกร่อนมาก และไม่หลุดตัวระหว่างที่แห้งตัวพันธะที่เชื่อมกันระหว่างไม่เลกูลของอีพอกซี่จะเกิดขึ้นเมื่อตัวเร่งปฏิกิริยาที่ทำให้แข็งได้ส่งไปทำให้ได้เป็นโครงร่างตายไม่เลกูลสามมิติ เพราะว่าความแข็งของพันธะ เรซินอีพอกซี่จึงใช้เป็นเคลือบผิว และวัสดุประสาน อีพอกซี่มีการใช้งานที่สำคัญในอุตสาหกรรมยานพาณิค ส่วนประกอบอาคารayan ทั้งหมด ทำจากอีพอกซี่ อีพอกซี่ใช้ทำพิวปิกเครื่องบินรนเอย-18 และเอย-22 รวมเป็น horizontal stabilizer ของเครื่องบินรนเอย-16 และเครื่องบินที่ระเบิดบี -1 นอกจากนี้แล้ว เกือบที่สิบเปอร์เซ็นต์ของน้ำหนักเครื่องบินเจ็ทแอร์เรียร์มีการเสริมรอบตัวถังด้วยการอีพอกซี่ เนื่องจากความสามารถในการทนต่อสารเคมีของอีพอกซี่และสมบัติในการเป็นนวนที่เยี่ยมยอด ส่วนประกอบอีเล็กทรอนิกส์ เช่น เครื่องถ่ายทอดภาวะกระแสไฟฟ้า (Relay) อยู่ด้วยทั้งหมดก็มีนวนเป็นอีพอกซี่

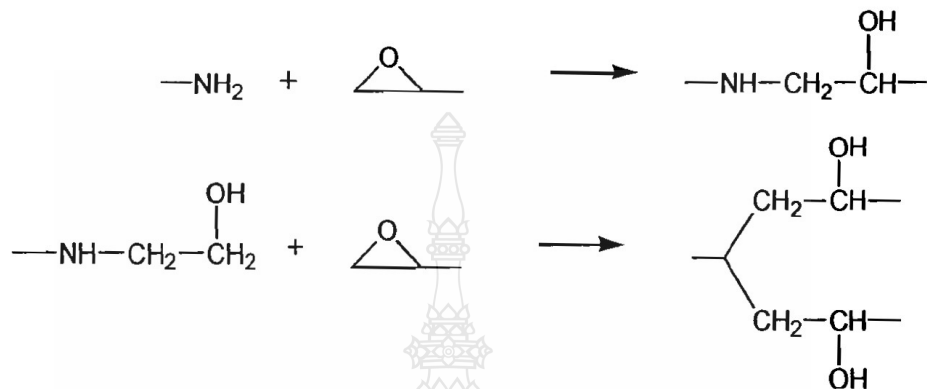


ภาพที่ 2.1 อีพอกซี่เรซินทางการค้าที่มีองค์ประกอบพื้นฐานเป็น DGEBA



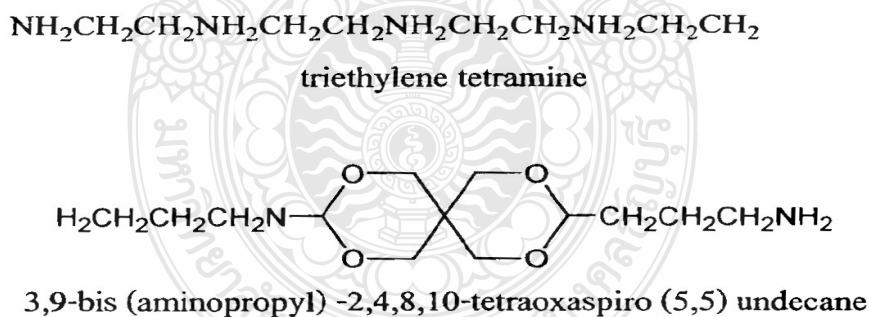
ภาพที่ 2.2 เตตรา-ไกลซิด ไดอะมิโนไดฟีโนลมีเทน (Tetraglycidyl Diaminodiphenylmethane)

เอมีนทั้งชนิดօร์โมติก (Aromatic) และօลิฟาติก (Aliphatic) ถูกใช้เป็นสารที่ทำให้แข็ง (Hardeners) ซึ่งสัดส่วนการทำปฏิกิริยาระหว่างหมู่อีพอกซี่ด้วยกัน ไฮโรเจนอะตอมของเอมีน คือ 1:1 โดยเกิดผ่านการปฏิกิริยาของหมู่ไพรามารีเอมีน (Primary Amine) กับวงอีพอกซี่แสดงดังภาพที่ 2.3



ภาพที่ 2.3 ปฏิกิริยาของไพรามารีเอมีนกับอีพอกซี่ 2 หมู่

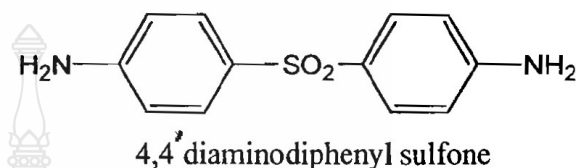
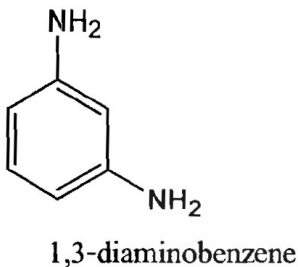
ตัวอย่างสารเชื่อมขาว (Curing agent) เอมีนชนิดօลิฟาติก ได้แก่ ไตรเอทธิลีนเตตระมีน (Triethylene Tetramine, TETA) ที่มีหมู่ฟิงก์ชัน 6 หมู่ และบิสอะมีโนพรอพิลเตตระออกไซด์ไปโรอันเดกเคน (Bis (Aminopropyl) Tetraoxaspirooundecane) ที่มีหมู่ฟิงก์ชัน 4 หมู่ ดังแสดงในภาพที่ 2.4



ภาพที่ 2.4 สารเชื่อมขาวเอมีนชนิดօลิฟาติก

การอีพอกซี่กับเอมีนชนิดօลิฟาติกสามารถเกิดปฏิกิริยาเชื่อมขาวได้ที่อุณหภูมิห้องและกระบวนการเกิดปฏิกิริยาสามารถถูกเร่งได้โดยความร้อน เช่น จะใช้เวลาในการเกิดปฏิกิริยา 14 ชั่วโมงที่อุณหภูมิห้อง หรือ 3 ชั่วโมงที่ 80°C ในกรณีของการอีพอกซี่กับเอมีนชนิดօร์โมติก จำเป็นต้องใช้อุณหภูมิสูงขึ้น โดยใช้เวลาในการเกิดปฏิกิริยาเพียง 2 ชั่วโมงที่ 150°C ซึ่งจะได้การอี-

พอกซี่ที่เกิดปฏิกิริยาเชื่อมขวางแล้วที่มีอุณหภูมิเปลี่ยนสถานะคล้ายแก้ว (T_g) สูงกว่าการ เกิดปฏิกิริยา เชื่อมขวางกับเอมีนชนิดอะลิฟาติกจากนี้ร้อยต่อของ การที่เกิดปฏิกิริยา เชื่อมขวางกับเอมีนชนิด อะลิฟาติก ตัวอย่างสารเชื่อมขวางเอมีนชนิดอะโรมาติกแสดงดังภาพที่ 2.5

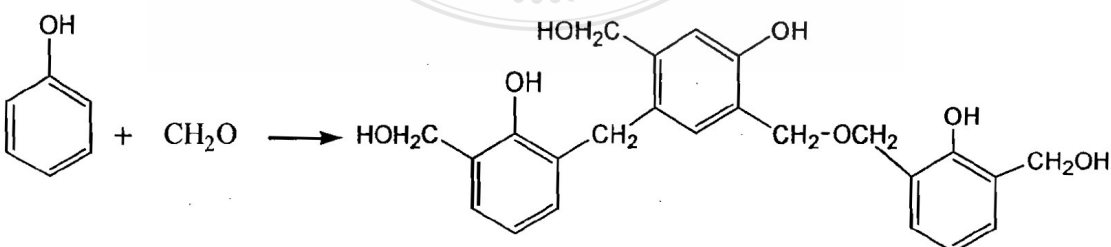


ภาพที่ 2.5 สารเชื่อมขวางเอมีนชนิดอะโรมาติก

การอีพอกซี่กับสารที่ทำให้แข็งขึ้นสามารถเกิดปฏิกิริยาเชื่อมขวางได้ด้วยความร้อนที่ อุณหภูมิสูง เช่น ใช้ไดไซยาไดเอโนด (Dicyandiamide, $H_2N-C(=NH)-NH-CN$) เป็นสารที่ทำให้แข็ง ขึ้นเมื่อเติมแล้วมีข้อดี คือ ไม่ละลายใน DGEBA ที่อุณหภูมิห้องแต่สามารถละลายได้เมื่อการดีรับ ความร้อนมาก มักใช้งานในลักษณะเป็นพิล์มบางที่ถูกเก็บรักษาในตู้เย็น มักใช้ผสมกับเต็นไบเพื่อให้ เต็นไบช่วยเป็นโครงในการขึ้นรูปด้วยมือและความคุณความหนาของสารอีพอกซี่ได้

2) การฟีนอลิกสำหรับโลหะ (Phenolic Adhesives for Metals)

เมื่อฟีนอล (Phenol) ทำปฏิกิริยากับฟอร์มัลดีไฮด์ (Formaldehyde) ที่มากเกินพอใน กระบวนการละลายเบส ผลิตภัณฑ์ที่เรียกว่ารีโซล (Resole) ซึ่งเป็นโอลิโกลเมอร์ (Oligomer) ที่มี ฟีนอลเป็นองค์ประกอบ โดยมีหมู่อีเทอร์ (Ether groups) และหมู่เมทธิลีน (Methylene Groups) เป็น สะพานเชื่อม นอกจากนี้ยังมีหมู่เมทธิโลล (Methyol Groups) เป็นหมู่แทนที่บันวนเบนซีน (Benzene Rings) ซึ่งแสดงดังภาพที่ 2.6



ภาพที่ 2.6 ปฏิกิริยาระหว่างฟีนอลและฟอร์มัลดีไฮด์ได้ผลิตภัณฑ์เป็นรีโซล

ถ้าใช้งานกาวชนิดนี้จะต้องให้ความร้อนที่ $130\text{-}160^\circ\text{C}$ กับรอยต่อเพื่อช่วยให้เกิดปฏิกิริยาแบบรวมตัวของหมู่เมทธิโอลให้กลายเป็นพอลิเมอร์โครงร่าง 3 มิติ ดังสมการ



เพื่อหลีกเลี่ยงการเกิดฟองอากาศ พื้นผิวรอยต่อที่เชื่อมด้วยกาวฟีนอลิกจะเกิดปฏิกิริยา เชื่อมบางภายในตัวที่มีความดัน ซึ่งโดยปกติจะมีการให้ความร้อนกับแผ่นโลหะที่นำมาอัดความดันก่อน และเนื่องจากกาวฟีนอลิกมีความแข็งแต่ประจังนำพอลิเมอร์ชนิดอื่นเติมลงในกาวฟีนอลิก เพื่อเพิ่มความเหนียว เช่น พอลิไวนิลบิวทิรัล (Polyvinylbutyral) พอลิไวนิลบิวทิรัล (Polyvinylbutyral) อีพอกซี่ (Epoxy) และยางไนไตรต์ (Nitrile rubber)

3) กาวอะไครลิก (Structural acrylic adhesive)

โครงสร้างของกาวอะไครลิกประกอบด้วยอะไครลิกมอนومอร์ซึ่งสามารถเกิดปฏิกิริยา เชื่อมบาง โดยปฏิกิริยาแบบลูกโซ่และคิลหรือแบบเพิ่มเข้าได้ที่อุณหภูมิห้อง โดยมอนومอร์หลักในการอะไครลิกคือ เมทธิลเมทาไครเลท (Methylmethacrylate, MMA) และสารอื่นๆ เช่น กรด เมชาไครลิก (Methacrylic Acid) เพื่อปรับปรุงการยึดเกาะ โลหะ โดยเกิดเป็นเกลือของกรดคาร์บอนิก (Carboxylate Salts) และทนความร้อน ใช้อเอทิลีนไกลคอล (Ethylene Glycol) เป็นสารเชื่อมบาง บ่อยครั้งที่สารเหล่านี้ถูกเติมลงในพอลิเมทธิลเมทาไครเลท ซึ่งเป็นผลให้กาวอะไครลิกมีความหนืดสูงขึ้นและมีกลิ่นลดลง ตัวอย่างสูตรกาวอะไครลิกแสดงดังตารางที่ 2.3

ตารางที่ 2.3 องค์ประกอบพื้นฐานของกาวอะไครเลท [3]

องค์ประกอบ	สัดส่วนโดยน้ำหนัก
เมทธิลเมทาไครเลท (Methylmethacrylate)	85
กรดเมชาไครลิก (Methacrylic Acid)	15
เอทิลีนไกลคอลไดเมทาไครเลท (Ethylene Glycol Dimethacrylate)	2
คลอโรซัลโพเนตพอลิเอทิลีน (Chlorosulfonated Polyethylene)	100
คิวเม็นไฮโดรเปอร์ออกไซด์ (Cumene Hydroperoxide)	6
เอ็น เอ็น- ไดเมทิโลະนิลีน (N, N-Dimethylaniline)	2

คลอโรซัล โพเนตพอลิเอทิลีน (Chlorosulfonated Polyethylene) เป็นสารที่ทำให้เหนียวคล้ายยาง คิวเม็น ไอโอดรีเปอร์ออกไซด์ (Cumene Hydroperoxide) และ เอ็น,เอ็น-ไคเมทิลอะนิลีน (N, N-Dimethylaniline) เป็นองค์ประกอบของตัวเริ่มปฏิกิริยาเรดิกซ์ (Redox Initiator) ภาวะไครลิกต้องใช้สองส่วนผสมกัน คือ เรซิน (Resin) และสารเร่งปฏิกิริยา (Catalyst) ในสารเร่งปฏิกิริยาจะมีสารเริ่มปฏิกิริยาเป็นองค์ประกอบ และส่วนประกอบอื่นๆ ที่เหลือจะผสมอยู่ในเรซินสามารถป้ายการลงบนพื้นผิวโลหะและป้ายสารเร่งปฏิกิริยาทับลงบนภาวด้วยหลังจากประบกพื้นผิวโลหะเพียง 1 นาที ภาวะไครลิกสามารถยึดติดพื้นผิวโลหะได้เป็นอย่างดี และค่าความแข็งแรงจะสูงขึ้นในเวลาประมาณ 10 นาที

สารเริ่มปฏิกิริยาที่นิยมใช้ คือ ไอโอดรีเปอร์ออกไซด์ และ พลิตภัณฑ์ที่ควบแน่นออกมาน้ำคืออะนิลีน (Aniline) และ บิวทิรัลเดไฮด์ (Butyraldehyde) ซึ่งสามารถทำให้เกิดอนุมูลอิสระ โดยการทำปฏิกิริยากับหมู่ชัลฟอนิลคลอไรด์ (Sulfonyl Chloride Groups) ในยาง ทำให้เกิดการกราฟต์ (Grafting) ของอะไครลิกโพลิเมอร์กับอุภาคของยาง

4) การยาง (Rubber Toughening of Structural Adhesive)

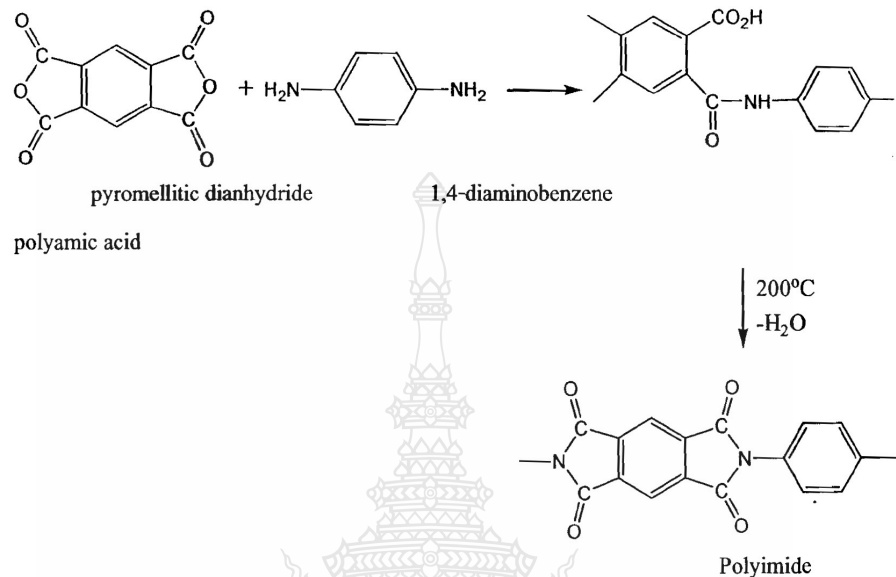
การหลายชนิดมักมีพอลิเมอร์ที่มีสมบัติคล้ายยางเป็นองค์ประกอบ เมื่อการเกิดการเชื่อมยางจะเกิดการแตกตะกอนเป็นเม็ดเล็กๆ ขนาดเส้นผ่าศูนย์กลางประมาณ 1 ไมโครเมตร ทำให้เกิดการไม่ผสมเป็นเนื้อเดียวกันของพอลิเมอร์ เกิดการแตก (Break) ออกจากกันของรอยต่อการที่เกิดจากรอยแยกเล็กๆ (Crack) แต่อนุภาคยางสามารถหดดรอຍแยกเล็กๆ ได้โดยเป็นตัวป้องกันไม่ให้รอยแยกเล็กๆ นั้นรวมตัวกันจนเป็นรอยแยกที่มีขนาดใหญ่ขึ้น ทำให้มีความต้านทานต่อแรงกระแทกสูงขึ้น โดยยางที่นิยมใช้ ได้แก่ พอลิไวนิลฟอร์มัล (Polyvinylformal) พอลิไวนิลบิวทิรัล (Polyvinylbutyral) คลอโรซัล โพเนตพอลิเอทิลีน (Chlorosulfonated Polyethylene) ATBN และ CTBN

หมายเหตุ ATBN และ CTBN คือ พอลิเมอร์ผสม (Copolymer) ระหว่างบิวตัลไคอีน (Butadiene) และอะคริโลไนไตรท์ (Acrylonitrile) ที่มีหมู่ฟังก์ชั่นเป็นอีเซอร์เอมีน (Ether Amine) หรือคาร์บอซิลิก (Carboxylic)

5) การอุณหภูมิสูง (High – Temperature Adhesive)

อุณหภูมิสูงสุดที่สามารถใช้ในการเกิดปฏิกิริยาเชื่อมขาวงลูกกำหนดโดยอุณหภูมิเปลี่ยนสถานะคล้ายแก้ว และการเสื่อมถลายทางเคมี (Chemical Degradation) เช่น ภาวะไครลิกอุณหภูมิสูงสุดที่สามารถใช้ในการเกิดปฏิกิริยาเชื่อมขาวงลูกกับอุณหภูมิสถานะคล้ายแก้วของพอลิเมธิลเทราไครเลท (Polyimethylmethacrylate) ที่ 105 °C ในกรณีของการอีพอกซี่อุณหภูมิ ซึ่งได้จากการ

เกิดปฏิกิริยาควบแน่น (Condensation Polymerisation) ระหว่าง ไคแอนไฮไดรด์ (Dianhydride) กับ ไคเอเมีน (Diamine) ดังแสดงในภาพ 2.7



ภาพที่ 2.7 ปฏิกิริยาการสังเคราะห์พอลิเอมไม

6) การฟอร์มัลเดไฮด์สำหรับไม้ (Formaldehyde Condensate Adhesive for Wood)

การสำหรับไม้จะเป็นการที่เกิด ปฏิกิริยาของฟอร์มัลเดไฮด์ (Formaldehyde) กับ ฟีนอล (Phenol) และริซอซินอล (Resorcinol) นอกจากนี้ยังเกิดจากยูเรีย (Urea) หรือ เมลามีน (Melamine) ทำ ปฏิกิริยากับฟอร์มัลเดไฮด์ โดย ปฏิกิริยาสามารถเกิดได้ที่อุณหภูมิห้องหลังเติมสารเร่งปฏิกิริยา การชนิดนี้เป็นการน้ำ และน้ำจะเป็นตัวทำให้เกิด ปฏิกิริยา โดยน้ำจะเคลื่อนที่ไปยังไม้และทำให้การมีสภาวะเหมาะสมต่อการยึดติด

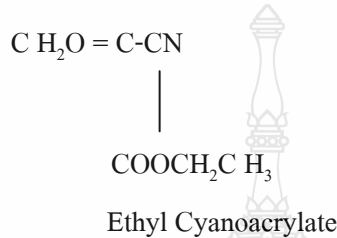
7) การแบบไม่ใช้อกซิเจน (Anaerobic Adhesives)

การชนิดนี้เกิด ปฏิกิริยาเชื่อมขาว ได้เมื่อไม่มีออกซิเจน ส่วนใหญ่การประเภทนี้มักมีองค์ประกอบหลักเป็น ไคเมทาไครเลทของพอลิเอทิลีนไกลคอล (Dimethacrylates of polyethylene glycol) ซึ่งมีหมุนเวียนอย่างต่อเนื่อง การชนิดนี้มักใช้กับชิ้นงานที่ต้องการความแข็งแรงสูง

8) การใช้ยาโนอะไครเลท (Cyanoacrylates)

โมเลกุลของการชนิดนี้มีส่วนประกอบที่มีหมุนเวียนอยู่ตรงกลาง ได้ดังนี้ เช่น เอทิลไซยาโนอะไครเลท (Ethyl Cyanoacrylate) จะประกอบด้วยหมุนเวียน-CN และหมุนเวียนอนิล (-

COO-) ซึ่งเป็นหมู่ที่ว่องไวต่อปฏิกิริยา ดังนั้นจึงสามารถแตกตัวได้โดยน้ำที่คุณชับบนพื้นผิวในบรรยายกาศ และเกิดปฏิกิริยาการแตกตัวได้อย่างรวดเร็ว ซึ่งปกติน้ำจะแตกตัวให้หมู่ไฮดรอกซิล (-OH) การชนิดนี้จะบรรจุในขวดพอลิเอทิลีนมากกว่าขวดแก้วเนื่องจากพื้นผิวของแก้วเป็นเบส (Alkaline) โดยทั่วไปแล้วจะนิยมใช้ชัลเฟอร์ไดออกไซด์ (SO_2) เป็นตัวที่ทำให้เกิดความเสถียร (Stabilizer) ในขวดบรรจุด้วย



9) การพอลิยูเรทานหรือพียู (Polyurethanes)

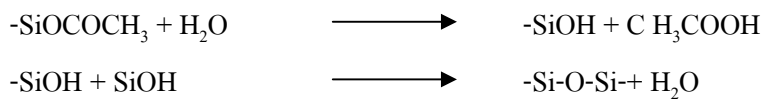
การชนิดนี้สามารถผลิตได้จากการเกิดปฏิกิริยาของพอลิเมอร์ที่มีหน้าหันไม่เลกุลต์ ซึ่งต้องมีหมู่ไฮดรอกซิลอย่างน้อยสองหมู่ที่ปลายสายโซ่ พอลิเมอร์ทำปฏิกิริยากับไดโอดิไซยาเนต (Dissocyanate) ซึ่งพอลิเมอร์ที่กล่าวถึงอาจเป็นพอลิเอสเทอร์ โดยทั่วไปแล้วปฏิกิริยาเคมีที่เกิดขึ้นแสดงดังสมการ



ในส่วนประกอบทั้งสองของ การพอลิยูเรทาน พอลิเมอร์และไดโอดิไซยาเนตจะผสมกันแล้วเกิดการยึดติดขึ้น โดยหมู่ไฮดรอกซิลที่อยู่บนพื้นผิวของวัสดุอาจทำปฏิกิริยากับไดโอดิไซยาเนตเกิดเป็นพันธะโคوالเอนต์ (Covalent Bond)

10) การซิลิโคน (Silicones)

การซิลิโคนสามารถเกิดการเชื่อมวง (Vulcanising) ได้ที่อุณหภูมิ ซึ่งประกอบด้วยพอลิไಡเมทธิลไซโลเซน (Polydimethylsiloxane, PDMS) ซึ่งมีมวลโมเลกุลระหว่าง 300-1600 กับอะซิเดท (Acetate) คิโตซีม (Ketoxime) หรือหมู่อีเทอร์ (Ether Group) ซึ่งหมู่นี้สามารถเกิดปฏิกิริยาด้วยความชื้น (Hydrolysis) ซึ่งจะมีการจำกัดน้ำออกมานา แสดงสมการดังนี้



การชนิดนี้มีความอ่อนนุ่ม ทนต่อสารเคมีและทนต่อสภาพแวดล้อมมากใช้เป็นการอุดรอยร้าวในห้องน้ำ สามารถใช้งานได้ในช่วงอุณหภูมิกว้างประมาณ $-60^{\circ}\text{C} - 200^{\circ}\text{C}$ และมีอุณหภูมิเปลี่ยนสถานะคล้ายแก้วประมาณ -120°C

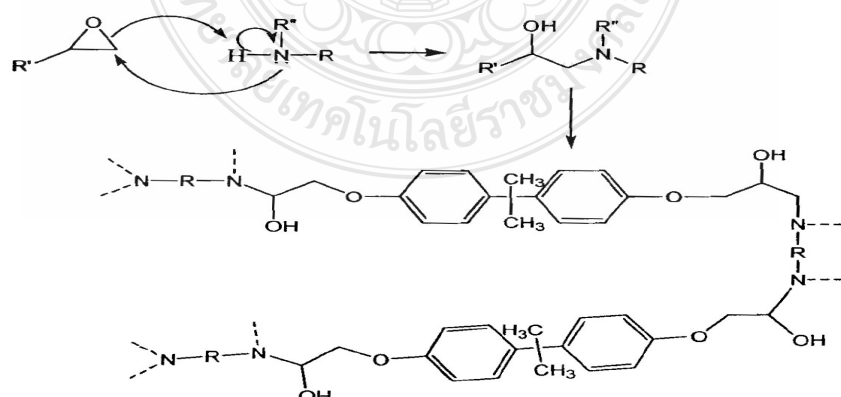
11) การพอลิซัลไฟฟ์ (Polysulfides)

การพอลิซัลไฟฟ์มักใช้เป็นการในการอุดรอยร้าวหรือเชื่อมขอบกระจากสองชิ้นเข้าด้วยกันสามารถป้องกันการซึมผ่านของน้ำได้ ซึ่งการพอลิซัลไฟฟ์เกิดจากการกระทำปฏิกิริยาระหว่างบิส 2 คลอโรเอทิลฟอร์มัล (Bis (2-Chloroethyl Formal)) กับโซเดียมพอลิซัลไฟฟ์ (Sodium Polysulfide)



การพอลิซัลไฟฟ์มักสมสารเพิ่มนื้อหรือสารปรับแต่งเพื่อลดต้นทุนและปรับปรุงสมบัติความหนืด เช่น พลาทาเลท สารคู่ควบไไซเดน (Silane Coupling Agent) เป็นต้น

โดยทั่วไปการเชื่อมติดของภาชนะก็คือการที่กาวนี้เหนียวหรือแข็งตัวจากการเชื่อมขาวกันระหว่างสายโซ่อันเนื่องมาจากสารเคมี แสงอัลตราไวโอลेट หรือ ความร้อน เช่น ในกรณีของอีพอกซี่เรซิน กระบวนการเกิดปฏิกิริยาเชื่อมติดจะเกิดจากการที่หมู่อิพอกไซด์ที่ปลายสายของโอลิโกลเมอร์ทำปฏิกิริยากับหมู่พอลิฟังก์ชันนัลเอmine ดังแสดงในภาพที่ 2.8



ภาพที่ 2.8 ตัวอย่างการเกิดกระบวนการเชื่อมขาวของการอีพอกซี่กับพอลิฟังก์ชันนัลเอmine

12) การที่เกิดกระบวนการเชื่อมขวางโดยใช้แสงอัลตร้าไวโอเลต

ปัจจุบันนิยมการนำรังสีอัลตร้าไวโอเลตมาใช้ในการฉายให้กับการเกิด ปฏิกิริยา ซึ่งวิธีนี้มีข้อดี คือ ความสะดวก รวดเร็ว ประหยัดพลังงาน ได้สมบัติเชิงกลที่ดี รวมถึงไม่เป็นอันตรายต่อซึ่งแวดล้อม เนื่องจากการฉายรังสีอัลตร้าไวโอเลตสามารถเกิดปฏิกิริยาได้อย่างรวดเร็วโดยใช้เวลาเพียงไม่กี่วินาที กระบวนการเกิดได้ที่อุณหภูมิห้อง และไม่มีการระเหยของตัวทำละลายในการที่เป็นสารอันตรายต่อผู้ปฏิบัติงานและสิ่งแวดล้อม นอกจากนี้การชนิดนี้ยังมีความทนทานในการยึดติด สามารถยึดเกาะได้ดีกับวัสดุหลายชนิด และมีความเสถียรสูงในขณะเก็บรักษา

การเชื่อมขวางด้วยแสงอัลตร้าไวโอเลต (UV Curable Adhesive) [4] หมายถึง การที่สามารถเปลี่ยนสถานะจากของเหลวไปเป็นของแข็ง ได้โดยการฉายแสงอัลตร้าไวโอเลตในระยะเวลาที่สั้น สามารถเกิดปฏิกิริยาได้ที่อุณหภูมิได้ที่อุณหภูมิห้อง องค์ประกอบหลักของการที่เชื่อมขวางด้วยแสงอัลตร้าไวโอเลต คือ โอลิโกเมอร์ อนโนเมอร์ และตัวเริ่มปฏิกิริยาด้วยแสง ซึ่งสมบัติของการที่ได้ก็จะขึ้นอยู่กับสารตั้งต้นที่เลือกใช้ การเชื่อมขวางด้วยแสงอัลตร้าไวโอเลต (UV Curing) ประกอบด้วยพื้นฐานของพอลิเมอร์ไ化ชันด้วยแสง (Photoinitiated Polymerization) ของอนโนเมอร์ที่มีหมู่ฟังก์ชันหลายหมู่ แล้วเกิดการเปลี่ยนไปเป็นพอลิเมอร์ที่มีโครงร่างตาข่ายสามมิติ กลไกของการเชื่อมขวางด้วยแสงอัลตร้าไวโอเลตมี 2 แบบ คือ การเกิด ปฏิกิริยาแบบฟรีเอดิคัล ซึ่งแบ่งเป็น 3 ขั้น คือ เริ่มต้น (Initiation) ขั้นแผ่ขยาย (Propagation) และขั้นสิ้นสุด (Termination)

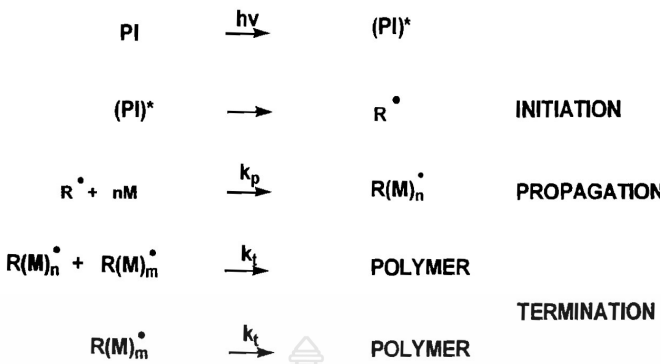
1. ขั้นเริ่มต้น ตัวเริ่มปฏิกิริยาด้วยแสง (Photoinitiator, PI) จะดูดกลืนรังสีไวโอเลตขึ้นไปอยู่ในชั้นกระตุ้น (Exited state) แล้วเกิดการแตกออกเป็นฟรีเอดิคัล (R^\cdot) เมื่อฟรีเอดิคัลเกิดขึ้นในที่ที่มีอนโนเมอร์ที่ไม่อ่อนตัว ฟรีเอดิคัลจะเข้าไปที่พันธะคู่

2. ขั้นแผ่ขยาย เกิดขึ้นหลังจากที่มีอนโนเมอร์ไม่เลกูลแกรกรมรวมตัวกับเอดิคัลแล้ว ขั้นแผ่ขยายก็จะเริ่มจากอนโนเมอร์ที่สองรวมตัวเข้าที่จุดว่องไว เกิดเป็นมอนโนเมอร์เอดิคัลตัวใหม่เกิดการเพิ่มเข้าของอนโนเมอร์ที่ปลายสายโซ่ย่างต่อเนื่อง เกิดเป็นสายโซ่ไม่เลกูลที่เอดิคัลติดอยู่ที่ปลาย (Active center)

3. ขั้นตอนสิ้นสุด จะเกิดขึ้นเมื่อสายโซ่เอดิคัลอิสระ 2 สายโซ่มาพบกันแล้วทำ ปฏิกิริยาทำให้ได้เอดิคัลหายไปจากไมเลกูล มีกลไกการเกิดปฏิกิริยา 2 แบบ

ก. แบบรวมตัวหรือการจับคู่ (Combination or Coupling) ลักษณะนี้จะเกิดขึ้นเมื่อสายโซ่ไมเลกูลที่กำลังแผ่ขยายมาเชื่อมตอกันเป็น 1 สายโซ่ไมเลกูล ได้พอลิเมอร์ที่มีน้ำหนักไมเลกูลสูงขึ้น

ข. แบบแตกตัว (Disproportionation) เกิดการ โยกย้ายของอะตอน ไฮโครเจนจากสายโซ่ไมเลกูลหนึ่งไปอีกสายโซ่ไมเลกูลหนึ่ง กลไกการเกิดปฏิกิริยาเชื่อมติดด้วยแสงแสดงดังภาพที่ 2.9



ภาพที่ 2.9 กลไกการเกิดปฏิกิริยาเชื่อมขวางคั่วyle

13) การแบบ Two-part Polymerization

การประเภทนี้ประกอบด้วยเรซิน และ Hardener การนำมาใช้งานต้องนำทั้งส่วนที่เป็นเรซิน และ Hardener มาทำการผสมกันจนเป็นเนื้อเดียวกันในสภาวะที่เป็นลักษณะกึ่งของเหลวเพื่อให้ส่วนประกอบทั้งสองเกิดปฏิกิริยาเคมี จากนั้นจึงทำให้เกิดการแข็งตัว Hardener ที่ใช้มีผลต่อสมบัติทางกายภาพ และเวลาในการทำให้เกิดการแข็งตัว

2.2 การวิเคราะห์สารตัวอย่างที่เป็นของแข็ง (Solid Samples)

ในกรณีที่สารตัวอย่างเป็นของแข็ง โดยไม่มีผลของตัวทำละลายหรือสารอื่นๆ ผสมอยู่มาเกี่ยวข้อง จำเป็นต้องทำให้สารตัวอย่างมีลักษณะบางมาก เป็นฟิล์มที่หนาประมาณ 0.01-0.1 มิลลิเมตร เพื่อให้แสงผ่านได้เทคนิคต่างๆ ที่เลือกใช้ยังชื่นอยู่กับสมบัติทางกายภาพของสารนั้นด้วย ซึ่งเทคนิคต่างๆ มีดังต่อไปนี้

2.2.1 ใช้วิธีอัดและรีดให้เป็นแผ่นบางๆ ด้วยโลหะบนแผ่นโลหะเรียบ หรือแผ่นพลาสติก หรือแผ่นโลหะที่สามารถดึงพอลิเมอร์ทันความร้อน เทคนิคนี้เหมาะสมที่จะใช้กับสารตัวอย่างที่เป็นพลาสติก ถ้าสารตัวอย่างไม่แข็งมากนัก อาจใช้กรอบกระจุก 2 แผ่น รีดสารตัวอย่างก็ได้ แต่ต้องระวังกรอบกระจุกแตกด้วย

2.2.2 ใช้วิธีหลอม ถ้าสารตัวอย่างมีมวลโมเลกุลต่ำ อาจหลอมเหลวได้ง่าย แล้วนำสารตัวอย่างที่หลอมเหลวเทลงไปบนแผ่นโลหะเรียบให้เป็นแผ่นบางๆ หรือเทลงไปในระหว่างแผ่นกรอบกระจุก 2 แผ่น ประกนกัน แล้วทิ้งไว้ให้เย็น

2.2.3 ในกรณีที่สารตัวอย่างเป็นพากชีวะสาร พลาสติก หรือปิ๊งก็อยู่ในรูปเป็นก้อนหรือเป็นแท่งสามารถใช้ไมโครโทมตัดให้เป็นแผ่นบางๆ ได้เลย

2.2.4 ใช้วิธีทำให้เป็นสารละลาย โดยให้สารตัวอย่างละลายในตัวทำละลายที่ระบุ夷จ่ายแล้วนำมาระเทลงบนแผ่นกระจก แผ่นโลหะขัดมัน หรือพลาสติก หลังจากตัวทำละลายระบุออกไปใช้มีดตัดแผ่นฟิล์มออกมา ถ้าสารตัวอย่างไม่ละลายน้ำให้จุ่มฟิล์มลงไปในน้ำ หลังจากแห้งแล้วแผ่นฟิล์มตรงกลางจะบางกว่าที่ขอบ เนื่องจากความเข้มข้นของสารละลายไม่เป็นเนื้อเดียวกัน ซึ่งแก้โดยใช้ความเข้มข้นของสารละลายใหม่มากที่สุดเท่าที่จะทำได้ แต่วิธีนี้ก็คงเหลือตัวทำละลายหลงเหลืออยู่บ้างเล็กน้อย

2.2.5 ใช้ KBr-Pellet Technique ทำได้โดยนำสารตัวอย่างมาบดผสมกับ KBr ในอัตราส่วนประมาณ 1 ส่วนของสารตัวอย่างต่อ 100 ส่วนของ KBr จนกระแท้เป็นเนื้อเดียวกันจากนั้นบรรจุสารตัวอย่างลงในแม่พิมพ์ (Die) และจึงจะได้ออกมาในลักษณะที่เป็นแผ่นกลมใส

2.2.6 ใช้ Mull Technique วิธีนี้ต้องทำการบดสารตัวอย่าง 2-3 มิลลิกรัมในโกร่งอะเกตแล้วหยดวาสตีนแบบเหลว (Mineral Oil) หรือ Nujol ลงไป 1-2 หยด แล้วบดต่อจนเป็นเนื้อเดียวกันจากนั้นนำไปใส่ในกรอบกระจกโซเดียมคลอไรด์ (NaCl Window) เพียงเล็กน้อย แล้วอากรอบกระจกอีกแผ่นประบกดูไปมาจนทั่วแผ่น นำไปใส่ในที่จับตัวอย่าง (Sample Holder) เพื่อวิเคราะห์ด้วยเครื่องอินฟราเรดสเปกโตรมิเตอร์ต่อไป

2.2.7 ข้อควรปฏิบัติในการใช้การ

- 1) ผิวน้ำที่จะติดกาวต้องเรียบ สะอาด และแห้ง
- 2) การทำความสะอาดให้เรียบ และทابางๆ
- 3) การใช้กาวชนิดแห้งเร็ว ควรทดลองทำบริเวณที่จะติดก่อนเพื่อความแน่ใจ
- 4) กาวชนิดนี้แห้งช้ากว่าต้องมีอุปกรณ์ยึดวัสดุให้ติดแน่นตลอดเวลาที่กาวยังไม่แห้ง
- 5) ต้องเลือกชนิดของกาวให้เหมาะสมกับวัสดุ
- 6) กาวบางชนิดเป็นอันตราย ไม่ควรใช้มือจับหรือสูดคอมกลิ้น

2.2.8 เงื่อนไขในการสร้างการยึดเกาะที่ดี

1) ความสะอาดผิวงาน ต้องปราศจากฝุ่น คราบน้ำมัน ความชื้น ฟิล์มออกไซด์โลหะ มิฉะนั้นอาจจะดูดเกาะกับสนิทโลหะแทนที่จะเป็นเนื้อโลหะ และแรงดึงดูดระหว่างสนิทโลหะกับเนื้อโลหะ มีค่าต่ำ บางกรณีอาจต้องใช้วิธีทำความสะอาดทากเมิร์วัมกับภายในภาพ (Cleanliness)

- 2) การแพร่เกาะผิวงาน อย่างกว้าง ทั่วถึง (Wetting)
- 3) การแข็งตัวของเนื้อกาว หลังจากการใช้เนื้อกาวในรูปของเหลวต้องเริ่มแข็งตัว และกล้ายเป็นของแข็งในที่สุด (Solidification) อาจเกิดจากปฏิกิริยาเคมี จากความร้อน ความดัน หรือสารช่วยแข็งตัวจับ (Curing Agent) การระบายน้ำความร้อนเกิดการเปลี่ยนสถานะ หรือแข็งตัวจากการระบุของสารละลายในเนื้อกาว

4) การเลือกชนิดการ (Adhesive Choice) มีมากมายให้เลือก คำนึงถึงพันธะที่ต้องการ สภาพแวดล้อม งานการเปลี่ยนแปลงผลิต และค่าใช้จ่าย

5) รูปแบบรอยต่อ (Joint Design) ให้เกิดแรงขัดแกะ มากที่สุด รวมไปถึงการประกอบต่อ (Assembly) ที่จะเชื่อมให้กาวได้ผลดีที่สุด

2.2.9 ปัจจัยสำคัญในการใช้กาวอย่างได้ผล

1) การเลือกชนิดของกาว

2) อุณหภูมิเวลาการกดอัดให้เกิดการแข็งตัวและจับตัว

3) การเตรียมพื้นผิวงาน (substrate-surface treatment)

4) การออกแบบรอยต่อ ที่เกิดจากการขัดเนินย瓦ทนทานต่อความเค้นอันจะทำให้เกิดการแตกร้าว แยก หลุด

5) เสถียรภาพทางกายภาพ เคมีของรอยต่อในการใช้งาน

2.2.10 ข้อดีของการต่อเย็บด้วยกาว

1) ให้พื้นที่รับความเค้นกว้างใหญ่และขับแรงเฉือนได้สูง (อาจถึง 7,000 ปอนด์/นิ้ว²)

2) ลดการสั่นสะเทือน และการกระแทกกระแทก

3) ให้ความแข็งแกร่งที่ลดปัญหาด้านความล้า

4) สามารถต่อเย็บพื้นผิวสูญญากาศและความหนาต่างๆ ได้

5) ปรับระดับผิวงานตามความต้องการ

6) ให้รอยต่อที่กันร้าวซึม

7) ต่อวัสดุต่างชนิด หรือชนิดเดียวกันได้

8) เปรียบเทียบกับการต่อทางกลไกแล้ว ราคาถูก และรวดเร็วกว่า

9) ทนทานต่อความร้อนพอสมควร

10) ให้ความแข็งต่อน้ำหนักที่ใช้สูงมาก

2.2.11 ข้อด้อยของการต่อเย็บด้วยกาว

1) พื้นผิวงานต้องสะอาด เรียบร้อยจริงๆ

2) ต้องใช้เวลาแข็งตัวเข้ารูปใช้งานได้ จัดว่านาน

3) ใช้กับสภาพแวดล้อมอุณหภูมิไม่สูงนัก ประมาณไม่เกิน 350°F

4) ในกรณีแข็งตัวบางครั้ง ต้องใช้ความร้อน และแรงอัดช่วย

5) บางกรณีต้องขึ้นแบบเข้าต่อวัสดุทางกลไกช่วยอย่างระมัดระวัง

6) ตรวจสอบรอยต่อโดยตรงยาก

- 7) สภาพแวดล้อมมีผลต่อประสิทธิภาพและอายุการใช้งาน เช่น ความชื้น-สารละลาย
- 8) ต้องควบคุมขั้นตอนการใช้อ่างพิสิพัณ

2.2.12 ข้อจำกัดในการออกแบบงานใช้การ

- 1) หารูปแบบรอยต่อที่จะให้แรงยึดเหนี่ยวเหมาะสมกับการใช้งานที่สุด (Top Performance) ต้องคำนึงถึงความเดิน สภาพแวดล้อม ชนิดภาต่าง ๆ ที่เลือก กระบวนการยึดเหนี่ยวบุคลากร
- 2) ราคากาวอาจจะสูง แต่เมื่อใช้งานต้องรวมค่าใช้จ่ายที่แอบแฝง (Hidden Cost) เช่น เครื่องมือ เตาอบ เครื่องอัด
- 3) อายุการเก็บ และวิธีการเก็บที่เหมาะสม (Storage Life) อาจเก็บในที่เย็น
- 4) ช่วงเวลาการแข็งตัวของกาวอาจเร็วกว่า ช่วงเวลาต่อปรับใช้ชิ้นงานเข้าที่
- 5) ค่าเตรียมพื้นผิว และการลงทับหน้า
- 6) คำนึงการขนย้าย คุณภาพการใช้งานที่เชื่อถือได้ การสื้นเปลืองสูญเปล่า
- 7) เมื่อต้องดัดแปลง อย่างจะแกะออกเพื่อแก้ไข คงยาก

2.2.12 วิธีการหาเนื้อกาว

ชั้งตัวอย่างที่กว้างดีแล้วประมาณ 5 กรัมให้ได้น้ำหนักที่แน่นอนถึง 0.001 กรัม ใส่ในภาชนะแบบปากกว้าง นำไปป้อนในตู้อบที่อุณหภูมิ 105 ± 2 องศาเซลเซียส อย่างน้อย 2 ชั่วโมง จนน้ำหนักคงที่ ทำให้เย็นในเดสิกเกเตอร์ แล้วชั่งน้ำหนัก

วิธีคำนวณ

$$\text{เนื้อกาว ร้อยละ} = (\text{น้ำหนักตัวอย่างหลังอบ} \times 100) / \text{น้ำหนักของตัวอย่างก่อนอบ}$$

2.2.13 ส่วนประกอบของกาว (Adhesive Composition)

ในสมัยใหม่ จัดว่าซับซ้อนมาก เนื่องจากมีส่วนประกอบหลายอย่าง ทำหน้าที่เฉพาะ พอจะแบ่งส่วนผสมพื้นฐานได้

- 1) สารยึดเหนี่ยว (Binder หรือ Base) เป็นส่วนประกอบหลักของการที่ทำหน้าที่เหนี่ยว กับแผ่นพื้นงาน เช่น กาวอีพอกซี่ มีส่วนประกอบหลัก กือ เรซิโนอีพอกซี่
- 2) ตัวทำให้เกิดการแข็งตัว (Hardener) ทำหน้าที่ให้เกิดปฏิกิริยา Curing (แข็งตัว เกี้ยวโง) กาว 2 หลอดมักจะเป็นตัวเนื้อกาวยึด (Base หรือ Binder) กับตัวสร้างความแข็งตัว (Hardener) อาจมีการเพิ่ม Catalyst ช่วยเร่งปฏิกิริยาระหว่างสารที่สอง
- 3) สารละลาย (Solvent) ช่วยให้เนื้อกาวแพร่กระจายกันพื้นที่มากขึ้น โดยทั่วไปใช้สารละลายอินทรีย์ในธรรมชาติ และมักใช้แบบลูกผสมตามต้องการ

4) ตัวลดปรับคุณสมบัติ (Diluents) ช่วยลดความเข้มของ Binder ลดความหนืด และทำให้เข้ากระบวนการผลิตสะดวก ไม่ระเหยหนีไป เมื่อสารละลาย (Solvent)

5) วัสดุเสริมเติม (Filler) ช่วยปรับคุณสมบัติทางการทำงาน เช่น ความแข็งแกร่ง การใช้งานและต้านทานได้ปริมาณมากขึ้น มีผลต่อคุณสมบัติทางการขยายตัว ทางไฟฟ้า การหดตัว ฯลฯ

6) วัสดุลำเลียง (Carrier) หรือ วัสดุเสริมความแข็งแกร่ง (Reinforcement) ช่วยรองรับเนื้อหาที่กำลัง Curing โดยทำหน้าที่คล้ายๆ ฟิล์มและทำให้เกิดแนวแบ่งชั้น

2.2.14 ทฤษฎีการติดกาว (Theory of Adhesion)

1) ทฤษฎีทางกล (Mechanical Theory)

เนื้อหาการแทรกซ่องว่างเล็กใหญ่ ระหว่างผิวงาน (Substrate) ต่อให้ขัดอย่างไร ผิวงานจะไม่เรียบ เกิด Micro cavities (โพรงเล็กจิ๋ว) ที่ผิวมากมายเมื่อการแข็งตัว จะเกิดแรงเกี่ยวระหว่างโพรงเล็กๆ ผ่านเนื้อหา (Mechanical interlocking)

2) ทฤษฎีการดูดกลืนระหว่างของแข็งกับของเหลว (Adsorption Theory)

โดยที่เกิดการแพร่กระจายผิว (Wetting) ของเนื้อการแพร่ (Adhesive) กับพื้นผิวงาน (Adhesion) ที่เป็นของแข็ง ได้ เนื่องจากเนื้อการ ความตึงผิวต่ำกว่าความตึงผิวของผิวชิ้นงาน ยิ่งแรงตึงผิว (Surface Tension) ของเนื้อการแพร่ต่ำกว่าความตึงผิวิกฤต (Critical Surface Tension = CST) ของผิวงาน จะยิ่งมีการแพร่กระจายเนื้อการแพร่ให้กับพื้นที่บนผิวงานมากแทรกผิวชิ้นงาน ไล่ลาก ตามโพรงจิ๋วๆ ออกไปได้ เกิดการแพร่กระจายผิว (Wetting) ที่สูงขึ้น หลักการคือ ควรใช้การที่แรงตึงผิวต่ำๆ แตกต่างจากแรงตึงผิวิกฤตของผิวงานที่มีค่าสูงกว่าอินทรีย์ทั่วๆ ภาวะติดงานอินทรีย์ เช่น สารโพลิเมอร์ พวกโพลิเอธิลีน โพลิไพริลีน เป็นต้น ค่า CST ของสารโพลิเมอร์ ค่าความตึงผิวของพลาสติก เช่น ใช้ออกซ์กับงานโลหะ ได้ แต่ใช้กับพลาสติกไม่ได้ผล หลังจากเกิดการแพร่กระจายตัว อาศัยแรงดึงดูดระหว่างโมเลกุลของสารผ่านพันธะทางเคมีแรง Van der Waal แรงระหว่างโมเลกุลชนิดเดียวกัน และต่างชนิดกัน

2.2.15 แรงตึงผิว (Surface Tension)

คือแรงที่เกิดขึ้นบริเวณที่ผิวของของไอลส์กับผิวของแข็ง โดยมี พลังงานเพียงพอต่อการยึดเหนี่ยวระหว่างโมเลกุล ซึ่งมีขนาดสัมพัทธ์กับแรงยึดติดและแรงเกาะติดทำให้เกิดเป็นลักษณะคล้ายๆ กับแผ่นบางๆ ที่สามารถต้านแรงดึงได้เล็กน้อย การเกิดแรงตึงผิวนี้สืบเนื่องมาจาก แรงดึงดูดระหว่างโมเลกุลซึ่งแบ่งได้ 2 ชนิด คือ

1) แรง Cohesive คือแรงดึงดูดระหว่างโมเลกุลต่างชนิดเดียวกันหรือ แรงที่ของเหลวดึงดูดโมเลกุลของตัวมันเองเข้าไว้ด้วยกัน ถ้าแรงดึงดูดระหว่างโมเลกุลของของเหลวสูง ของเหลวนั้นๆ จะยังคงรักษาไว้ได้เป็นอย่างดี

2) แรง Adhesive คือ แรงดึงดูดระหว่างโมเลกุลต่างชนิดกัน หรือ แรงกระทำระหว่างโมเลกุลของเหลวกับพื้นผิวของสารอื่นๆถ้าแรงดึงดูดระหว่างโมเลกุลของเหลวต่ำ จะทำให้หลุดของเหลวนั้นแผ่ออกมาเป็นฟิล์มบางๆ กล่าวได้ว่าของเหลวนั้นเป็นเปี้ยกภาชนะ

2.2.16 การใช้การแล้วไม่ได้ผล ไม่สามารถต่อติดชิ้นงานได้มี 2 รูปแบบ คือ Cohesive Failure มีภาวะติดที่ผิวงานหักส่อง และ Adhesive Failure มีภาวะติดผิวงานเดียวเท่านั้นและอาจเพิ่มรูปแบบที่ 3 Cohesive และ Adhesive Failure บางส่วนมีภาวะหน้าเดียว บางส่วนมีภาวะสองหน้า

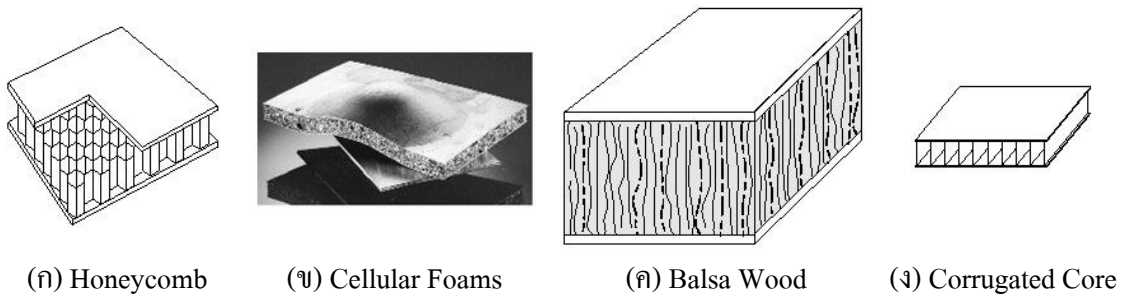
2.3 โครงสร้างแซนวิช (Sandwich Structure)

2.3.1 วัสดุแซนวิช

โครงสร้างแซนวิช (Sandwich Structure) เป็นโครงสร้างประเภทหนึ่งของวัสดุเชิงประกอบ (Composite Material) ประกอบด้วยส่วนแกนกลาง (Core) ซึ่งเป็นวัสดุอ่อน ประกอบเข้ากับแผ่นประกอบบนและล่าง (Facesheet) ซึ่งถูกเย็บเข้าด้วยกันด้วยการอีฟอกซ์ ประกอบด้วยแผ่นประกอบด้านบนและด้านล่าง [1-2] วัสดุแซนวิชถูกนำมาประยุกต์ใช้เพื่อเพิ่มความแข็งแกร่ง และลดน้ำหนักของโครงสร้างต่างๆ (Lightweight Construction) [1, 5]

2.3.2 ประเภทวัสดุแซนวิช

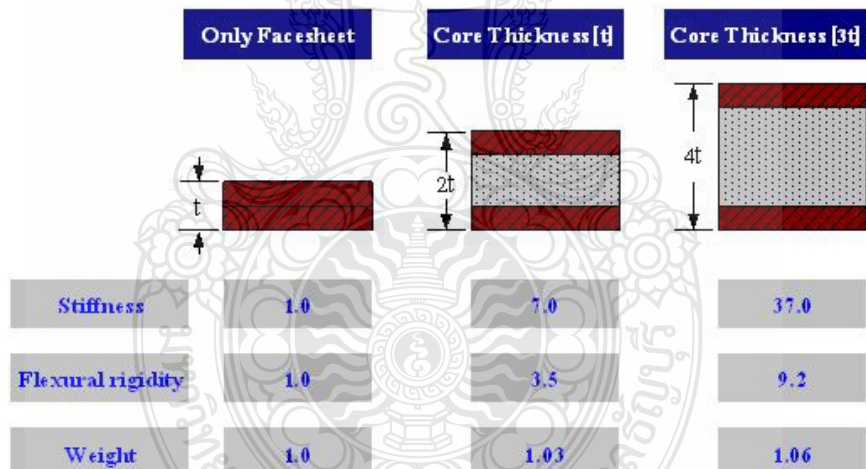
องค์ประกอบหลักของวัสดุแซนวิชคือ แกนกลางซึ่งมีบทบาทสำคัญต่อโครงสร้างวัสดุแซนวิช ซึ่งต้องมีความแข็งแรงเพียงพอในการคงที่ระยะระหว่างแผ่นประกอบ กล่าวคือมีความคงรูปต้านทานการเปลี่ยนแปลงรูปร่างจากแรงเหวี่ยงได้ดี วัสดุแซนวิชสามารถแบ่งออกได้เป็นสี่ประเภทใหญ่ ตามชนิดของแกนกลาง คือ Honeycomb, Cellular Foams, Balsa Wood และ Corrugated Core ดังแสดงในภาพที่ 2 ซึ่ง Balsa Wood ถือเป็นวัสดุแซนวิช ชนิดแรกที่ถูกนำมาใช้งาน จากนั้น Honeycomb ถูกนำมาใช้งานตามลำดับ การประยุกต์ใช้งานก็ขึ้นอยู่กับชนิดของงานเป็นหลัก



ภาพที่ 2.10 ชนิดของวัสดุแซนวิช

2.3.3 คุณสมบัติของวัสดุแซนวิช

คุณสมบัติของวัสดุแซนวิชคือมี อัตราส่วนของความแข็งแรงสูงเมื่อเปรียบเทียบต่อน้ำหนัก ซึ่งสามารถเปรียบเทียบได้ดังภาพที่ 4 พบว่าความแข็งแรงเพิ่มขึ้นสูงมากเมื่อมีการเพิ่มความหนาของ วัสดุแกนกลาง ขณะที่น้ำหนักเพิ่มขึ้นเพียงเล็กน้อยเท่านั้น



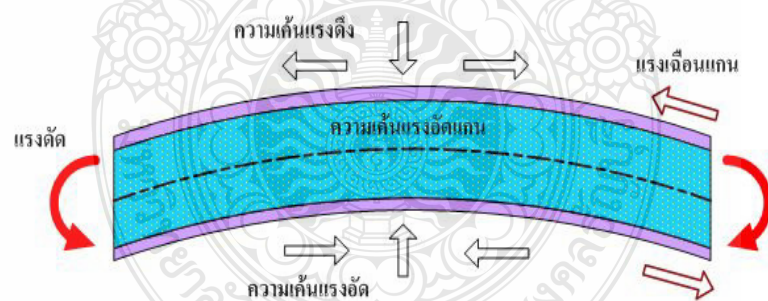
ภาพที่ 2.11 การเปรียบเทียบความแข็งแรงต่อน้ำหนักของวัสดุแซนวิช

แผ่นประกน (Face Sheets) ทำหน้าที่รับความเคี้ยวแรงดึงและความเคี้ยวแรงอัดในวัสดุ แซนวิช ดังภาพที่ 5 ซึ่งค่าความแข็งแกร่งการดันโถ้ง (Flexural Rigidity) มีน้อยมาก วัสดุส่วนใหญ่ที่นำมาทำแผ่นประกน เช่น เหล็ก เหล็กกล้าไร้สนิม อะลูมิเนียม และไฟเบอร์กลาส เป็นต้น คุณสมบัติ ของแผ่นประกนมีดังนี้ [5]

- 1) แข็งแรงสูง
- 2) ต้านทานแรงดึงและแรงอัด
- 3) ต้านทานแรงกระแทก
- 4) พิวเรียบ
- 5) ต้านทานสิ่งแวดล้อม
- 6) ต้านทานการสึกหรอ

แกนกลาง (Core) ทำหน้าที่รับแรงเฉือนเป็นหลัก ดังภาพที่ 5 ดังนั้นควรมีคุณสมบัติแข็งแรงในทิศทางต่างๆ และมีความหนาแน่นน้อย ซึ่งวัสดุใช้ทำส่วนใหญ่ใช้ทำแกนกลาง เช่น เหล็กพลาสติกโพม และไม้ เป็นต้น ทั้งนี้ขึ้นอยู่กับประเภทของวัสดุชนิดวิช ดังได้กล่าวไว้ข้างต้น แกนกลางมีคุณสมบัติดังนี้ [6]

- 1) ความหนาแน่นน้อย
- 2) ไม่คุ้ลลัสการเฉือนสูง
- 3) ความแข็งแรงการเฉือนสูง
- 4) เป็นฉนวนกันความร้อนดี
- 5) การดูดซับความชื้นดี
- 6) แข็งแรงในทิศทางตั้งฉากกับแผ่นประกาย



ภาพที่ 2.12 พฤติกรรมการรับแรงของวัสดุชนิดวิช [6]

2.3.4 การประยุกต์ใช้งาน

การใช้งานวัสดุชนิดวิชมีมาตั้งแต่สังคมโบราณครั้งที่ 2 แต่ได้รับความนิยมในการนำมาสร้างโครงสร้างของเรือซึ่งปัจจุบันนี้วัสดุชนิดวิชถูกนำมาใช้กันอย่างแพร่หลายในอุตสาหกรรมยานพาหนะเพื่อการคมนาคมขนส่งตัวอย่างเช่นเครื่องบินแอร์บัส A 380 ซึ่งเป็นเครื่องบินขนาดใหญ่

ที่สุดของโลก ได้นำเอาเทคโนโลยีวัสดุวัสดุแซนวิชมาทำโครงสร้างของลำตัวเครื่องบิน หรือ รถไฟฟ้า ความเร็วสูง ICE (450 กิโลเมตร/ชั่วโมง) ของประเทศเยอรมันี วัสดุแซนวิชกึ่งกลานามาสร้างลำตัวของรถไฟฟ้า สำหรับรถยนต์ เช่น Mercedes-Benz A-Class หรือ Audi A6 ก็ได้นำวัสดุแซนวิชมาใช้ ทำแผ่นรองฐานด้านล่าง เป็นต้น

สำหรับในประเทศไทยแล้วตัวอย่างผลิตภัณฑ์ที่นำมาวัสดุแซนวิช คือ รถไฟฟ้าใต้ดิน (MRT) ซึ่งผลิตจากประเทศเยอรมันนีแต่ชิ้นส่วนกุญแจผลิตขึ้นจากประเทศออสเตรียซึ่งชิ้นส่วนนั้น คือ โครงสร้างลำตัวของรถไฟฟ้าดังภาพที่ 2.13



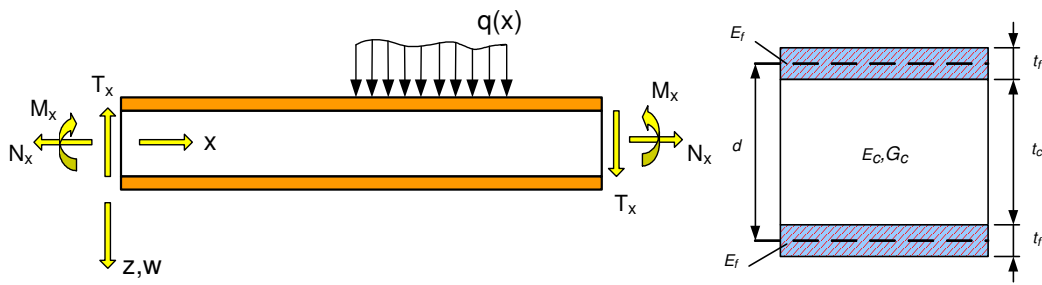
ภาพที่ 2.13 โครงสร้างรถไฟฟ้า MRT ที่ผลิตจากวัสดุแซนวิช [7]

2.3.5 พฤติกรรมเชิงกลของวัสดุแซนวิช

หลังสัมมาร์โนล็อกครั้งที่ 2 ได้มีการพัฒนาและวิจัยวัสดุแซนวิช เพื่อศึกษาพฤติกรรมเชิงกล ของวัสดุแซนวิชเพิ่มขึ้น โดยเริ่มต้นจากการใช้ทฤษฎีของคาน หรือเรียกว่า Timoshenko Theory โดยทำการวิเคราะห์ความเก็บเนื้อน (Shear Stress) และความเก็บแนวขวาง (Transverse Shear Stress)

2.3.6 ความแข็งแกร่งการดัดโค้ง (Flexural Rigidity)

ความแข็งแกร่งการดัดโค้ง เป็นการหาค่าความสามารถของวัสดุแซนวิชในการโค้งตัวภายใต้แรงดัด หรือ โมเมนต์ดัด ซึ่งประกอบไปด้วยแรงดึงและแรงอัด ดังภาพที่ 2.14 และความแข็งแกร่งการดัดโค้งสามารถคำนวณได้ดังสมการที่ 1



ภาพที่ 2.14 Sign Convention สำหรับวัสดุแซนวิช [5]

$$D = \int Ez^2 dz = \frac{E_f t_f^3}{6} + 2E_f t_f \left[\frac{d}{2} \right]^2 + \frac{E_c t_c^3}{12} = \frac{E_f t_f^3}{6} + \frac{E_f t_f d^2}{2} + \frac{E_c t_c^3}{12} = 2D_f + D_o + D_c \quad (2.1)$$

สำหรับแผ่นประกอบบาง:

$$\frac{2D_f}{D_o} < 0.01 \text{ เมื่อ } 3\left(\frac{d}{t_f}\right)^2 > 100 \text{ หรือ } \left(\frac{d}{t_f}\right) > 5.77 \quad (2.2)$$

สำหรับแกนกลางอ่อน :

$$\frac{D_c}{D_o} < 0.01 \quad \text{เมื่อ} \quad \frac{6E_f t_f d^2}{E_c t_c^3} > 100 \quad (2.3)$$

สำหรับแผ่นประกอบ $t_f \ll t_c$ และ โนมูลัสของ $E_c \ll E_f$ ได้สมการดังนี้

$$D = \frac{E_f b t_f d^2}{2} \quad (2.4)$$

2.3.7 ความเด่นและความเครียด (Stress and Strain)

สามารถหาความเด่นและความเครียดที่เกิดขึ้นกับแผ่นประกอบ และแกนกลาง ที่เกิดขึ้นจากการดัด ໂຄ้งดังนี้

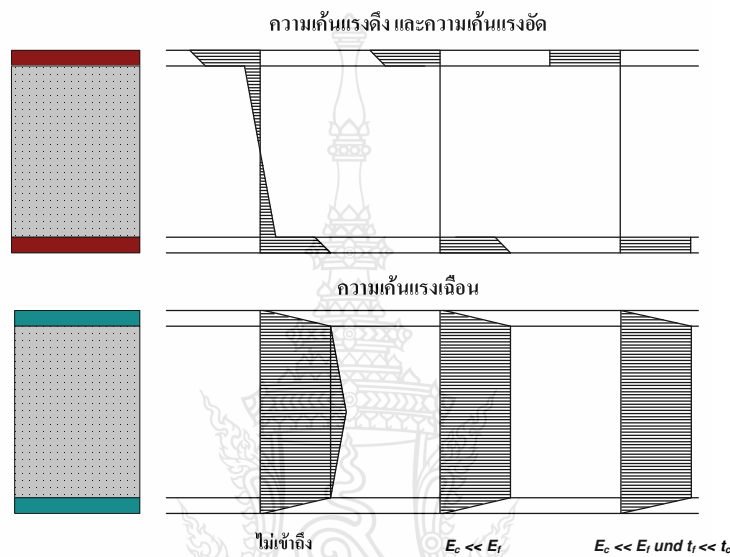
$$\varepsilon_x = \frac{M_x z}{D} \quad \text{และ} \quad \sigma_f = \frac{M_x z E_f}{D} \quad (2.5)$$

2.3.8 ความเด่นเฉือน (Shear Stress)

สำหรับวัสดุแซนวิชที่สมมาตร สามารถหาความเด่นเฉือนที่เกิดขึ้นภายในวัสดุแซนวิชได้ดังนี้

$$\tau_{c,\max}(z=0) = \frac{T_x}{D} \left(\frac{E_f t_f d}{2} + \frac{E_c t_c^2}{8} \right) \text{ และ } \tau_{c,\min} = \tau_{f,\max} = \frac{T_x}{D} \left(\frac{E_f t_f d}{2} \right) \quad (2.6)$$

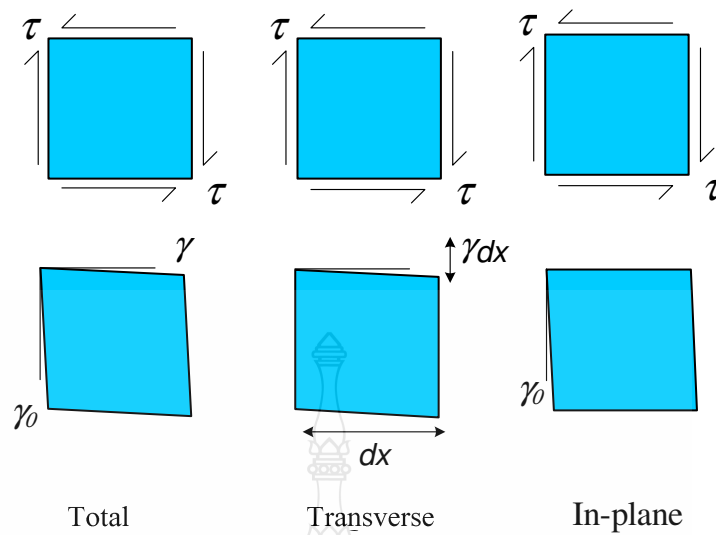
พฤษติกรรมการเกิดความเคี้นเนื่องภายในวัสดุแซนวิช สามารถแสดงได้ดังภาพที่ 2.15 ซึ่ง
เกิดขึ้นจากความเคี้นแรงดึง ความเคี้นแรงอัด และความเคี้นแรงเฉือน



ภาพที่ 2.15 ลักษณะความเคี้นแรงดึง-แรงอัดและความเคี้นเฉือน [5]

2.3.9 การเปลี่ยนรูปจากความเคี้นเฉือน (Shear Stress Deformation)

เมื่อโครงสร้างวัสดุแซนวิชรับความเคี้นเฉือน เกิดการเปลี่ยนรูปภายใน คือ การเนื้อนตาม
แนววาง ถึงแม้ว่ารูปร่างของวัสดุแซนวิชไม่มีการเปลี่ยนแปลงก็ตาม ดังภาพที่ 2.16 แสดงระนาบที่
เกิดการเปลี่ยนรูปไป



ภาพที่ 2.16 การเปลี่ยนรูปของวัสดุ เช่นวิชภาษาให้ความเดินเนื่อง [1]

2.3.10 ความแข็งแกร่งความเดื่อน (Shear Stiffness)

ความแข็งแกร่งความเดื่อนในแนวตัดขวางเกิดขึ้นจากแรงเดื่อน และแรงตัดขวาง $\gamma = T_x / S$ สำหรับกรณีที่ $t_f \ll t_c$ และ $E_c \ll E_f$ สามารถคำนวณหาค่าความแข็งแกร่งความเดื่อนได้ดังนี้

$$S = \frac{G_c bd^2}{t_c} \quad (2.7)$$

2.4 งานวิจัยที่เกี่ยวข้อง

I.G.Hargis, M.A. Richard และ W.A.John [10] ได้ทำการสังเคราะห์การเพื่อยืดติดระหว่างยางกับโลหะ โดยใช้ปูนกาวโพลิเมอร์เซชันแบบสีดอมลัชัน (Seeded emulsion polymerization) โดยใช้สไตรีนเป็นเม็ดคลาทิกซ์ และมีโพแทสเซียมเบอร์ซัลเฟตเป็นตัวเริ่มปูนกาว สารที่ใช้ในการเกิดปูนกาวโพลิเมอร์เซชันขึ้นที่สองมีบิวทาไคอิน (Butadiene) และ ไวนิลideneklorid (Vinylidene Chloride) จากนั้นนำเม็ดคลาทิกซ์ไปเติมสารเติมแต่งต่างๆ เช่นสารเชื่อมโยง(Crosslinking agent) เช่น คล้ำ (Carbon black) ซิงค์ออกไซด์ (Zinc Oxide) เป็นต้น นำการที่ได้มาทางบันพื้นผิวโลหะ ทำให้แห้งโดยให้ความร้อนที่อุณหภูมิ 60 องศาเซลเซียส หลังจากนั้นนำไปยืดติดกับยางธรรมชาติโดยใช้กระบวนการอัดขึ้นรูปร่องที่ความดัน 3000 ปอนด์ที่อุณหภูมิ 160 องศาเซลเซียส เป็นเวลา 10 นาที นำไปทดสอบหาค่าความแข็งแรงคงทนในการยืดติดของกาวตาม ASTM D 429 โดยทำการเปรียบเทียบ

ระหว่างการที่ใช้น้ำเป็นตัวกลาง และการที่ใช้ตัวทำละลายเป็นตัวกลางพบว่าเกิดการนีกขาดบริเวณยางทึบคู่ แต่ค่าความแข็งแรงดึงของยางที่ใช้น้ำเป็นตัวทำละลายมีค่าสูงกว่าการที่มีตัวทำละลายเป็นตัวกลาง

Toshiyuki Sawa และคณะ [11] ศึกษาผลกระทบของอัตราส่วนโนมูลส์ความยืดหยุ่นของชิ้นงาน อัตราส่วนความหนาของชิ้นงานอัตราส่วนความยาวของชิ้นงานและความหนาของยางที่มีต่อการกระจายตัวของความเคี้ยวในรอยต่อทابเดียวแบบใช้การของชิ้นงานที่ทำจากวัสดุต่างกันและมีขนาดไม่เท่ากันรับแรงดึงจากภายนอกโดยคิด เสมือนว่าชิ้นงานและการเป็นวัสดุสามชนิดมาสัมผัสกันอยู่ และใช้ทฤษฎีระนาบความเคี้ยว (plane stress) ของทฤษฎีความยืดหยุ่นในสองมิติ ในการวิเคราะห์ความถูกไปกับวิธีทางไฟไนต์เอลิเมนต์จากนั้นนำผลที่ได้ไปตรวจสอบกับค่าที่วัดได้จริงจากการทดลอง ซึ่งผลลัพธ์ที่ได้จากการวิเคราะห์ทางทฤษฎี วิธีทางไฟไนต์เอลิเมนต์และค่าที่วัดได้จากการทดลองมีความสอดคล้องกัน

D. Charoenyut และคณะ [12] ศึกษาผลกระทบของชั้นการบางที่มีต่อพฤติกรรมทางกลในรอยต่อแบบหมุดข้ามและการ (Combined Adhesive-Reveted Lab Joint) ด้วยวิธีไฟไนต์เอลิเมนต์โดยแบบจำลองจะแทนเอลิเมนต์ของชั้นการบางในแบบจำลองด้วยสปริงเอลิเมนต์สำหรับรับแรงดึงและแรงกดและสปริงเอลิเมนต์สำหรับรับแรงเฉือน (Thin Adhesive Layer Analysis Method, TALA) ซึ่งในการศึกษาพบว่าการเพิ่มชั้นการบางในรอยต่อสามารถช่วยลดค่าความหนาแน่นของความเคี้ยว (Stress Concentration Factor) และช่วยเพิ่มอายุการใช้งานในการรับความล้าของรอยต่อได้

ธงชัย พองสมุทร [13] ทำการวิเคราะห์ความเคี้ยวในรอยต่อแบบหมุดข้ามและการ โดยที่ทำการประมวลผลโดยเปลี่ยนค่าคุณสมบัติเชิงกลของภาวะหลายๆ ค่า เพื่อแสดงค่าความแข็งแรงของชั้นการที่เหมาะสมในการนำมาใช้ร่วมกับการต่อด้วยหมุดข้าม โดยใช้ระบบที่ชื่อวิธีไฟไนต์เอลิเมนต์ร่วมกับวิธี TALA ซึ่งเป็นวิธีในการจำลองชั้นการบางลงในแบบจำลองในการทำการวิเคราะห์ข้อมูล ผลลัพธ์ที่ได้แสดงให้เห็นว่าเมื่อมีการเพิ่มค่าความแข็งแรงของชั้นการบาง ค่าความหนาแน่นของความเคี้ยวจะลดลง ซึ่งเป็นการเพิ่มค่าความแข็งแรงของชิ้นงาน

Fernandez-Garcia และคณะ [14] ได้ศึกษาการเตรียมผิวน้ำยาง SBR ด้วยวิธีอัลตราโซนิก การขัดผิวน้ำยาง และวิธีการใช้ตัวทำละลาย เพื่อให้เกิด ปฏิกิริยา คลอรินชั่น บนผิวน้ำยาง โดยใช้เทคนิค FTIR, SEM, % Contact Angle และ ความแข็งแรงของการยืด ของการยืดติดกาว polyurethane ด้วยยาง ระหว่างยาง SBR ตรวจสอบพบว่า การขัดผิวน้ำยางเพียงอย่างเดียวค่าความแข็งแรงของ การยืดติด เท่ากับ 3.3-4.3 กิโลนิวตัน/เมตร และการทำความสะอาดผิวน้ำยางด้วยวิธีอัลตราโซนิก ความแข็งแรงของการยืดติด เท่ากับ 1.7-2.7 กิโลนิวตัน/เมตร ซึ่งทั้ง 2 วิธีข้างต้นค่าจะต่ำไม่เป็นที่

ยอมรับ แม้ว่าจะมีการเพิ่มปริมาณและความหนาดของกาไฟมากขึ้นแต่ค่าความแข็งแรงของการยึดติดก็ไม่ได้เพิ่มสูงขึ้น ส่วนการเตรียมผิวน้ำยางขึดติดด้วยตัวทำละลาย TCI/MEK, TCI/Acetone และ TCI/EA ที่ความเข้มข้น 1-3% โดยนำหนัก เมื่อการเตรียมผิวน้ำยางเพียง 1 ชั่ว (อีก 1 ชั่ว ไม่มีการเตรียมผิวน้ำ) พนว่าความแข็งแรงของการยึดติดเท่ากับ 2-4 กิโลนิวตัน/เมตร แนวโน้มเหมือนกันทุกชนิดของตัวทำละลาย และความเข้มข้นแต่เมื่อเตรียมผิวน้ำยางทั้ง 2 ชั่ว พนว่าความแข็งแรงของการยึดติดมีค่าเท่ากับ 12 กิโลนิวตัน/เมตร และเมื่อเพิ่มความเข้มข้นของสารละลายเพิ่มมากขึ้นมากกว่า 4% โดยนำหนัก พนว่าค่าความแข็งแรงของการยึดติดกลับลดลงทั้งนี้ เนื่องจากเมื่อความเข้มข้นของสารละลายเพิ่มมากขึ้น โอกาสที่นำมันจะเคลื่อนที่ออกมากที่ผิวน้ำยางมีมากและทำให้ผิวน้ำแตก

Lawson และคณะ [15] ศึกษาการเตรียมผิวน้ำยางโดยใช้ตัวทำละลาย TCI/EA ที่ความเข้มข้น 3% โดยนำหนัก หลังเตรียมเสร็จใหม่ๆ โดยจุ่มยางในตัวทำละลาย 1 นาที ใช้ยางหลายชนิด และมีสูตรยางที่ต่างกันโดยยาง NP, BR และ SBR ใช้ HAF 50-65 phr นำมัน 12 phr และยาง EPDM, CIIR และ CR ไม่ใช่น้ำมัน โดยใช้เทคนิค XRS (X-Ray Photoelectron Spectroscopy) เพื่อศึกษาปฏิกิริยาที่เกิดขึ้นระหว่าง TCI/EA และผิวน้ำยาง พนว่าที่ผิวน้ำยางมีปฏิกิริยาแทนที่และปฏิกิริยาการเติมเกิดขึ้นทั้งในยาง NR, BR, SBR และยาง CR ซึ่งพบ %CI ในโครงสร้างเท่ากับ 8.5, 14.2, 14.2 และ 16.7% ตามลำดับ โดย %CI ที่เกิดปฏิกิริยาแทนที่เท่ากับ 9.6, 11.1, 8.3, 12.0% ตามลำดับ และปริมาณคลอรินต่อหนึ่งพันอะคูเท่ากับ 0.89, 1.28, 1.78 และ 1.39 ตามลำดับ ส่วนยาง CIIR และยาง EPDM ไม่เกิดปฏิกิริยาแทนที่หรือปฏิกิริยาการเติมเกิดขึ้นเนื่องจากโครงสร้างของยางเป็นพันอะที่อิ่มตัว และพบว่าตัวทำละลายสามารถเกิดปฏิกิริยาได้ที่ความลึก 4-5 ไมโครเมตร ทั้งนี้ขึ้นอยู่กับความเข้มข้นของตัวทำละลาย

บทที่ 3

วิธีดำเนินงานวิจัย

บทนี้กล่าวถึงขั้นตอนรวมถึงเครื่องมือ และอุปกรณ์ที่ใช้ในงานวิจัย โดยงานวิจัยนี้แบ่งเป็น 2 ส่วนใหญ่ คือ ศึกษาความต้านทานความเค้นกึ่งตามมาตรฐาน ASTM C273 และศึกษาความต้านทานความเค้นดัด ตามมาตรฐาน ASTM C393 ซึ่งมีรายละเอียดดังนี้

3.1 ขั้นตอนการดำเนินงานวิจัย

ในงานวิจัยนี้ได้ทำการศึกษาการเชื่อมประ痼ของโครงสร้างแซนวิช โดยใช้กาวเป็นตัวเชื่อมประ痼 ในการศึกษาจะใช้กาวทั้งหมด สามประเภท ได้แก่ กาวอีพอกซี่ กาวโพลียูรีเทน และ กาวยางนีโอลิรีนมาทำการทดสอบ แล้วนำไปทดสอบตามมาตรฐาน ASTM C273 และ ASTM C393 ทดสอบแบบ 4 ชุด แล้วจึงนำข้อมูลมาเปรียบเทียบตามแผนการดำเนินงาน และดูตามภาพที่ 3.1

3.1.1 การศึกษาเพื่อเลือกประเภทของกาวที่จะนำมาใช้ในการศึกษา

ในการทำการศึกษานี้จะเน้นกาวที่มีใช้อยู่ในห้องทดลอง จากการสำรวจพบว่ากาวในห้องทดลองมีอยู่หลายชนิด แต่งานวิจัยนี้ต้องการทดสอบกาวที่มีราคาต่ำกวากาวอีพอกซี่ ดังนั้นจึงเลือกการที่เป็นกลุ่มของตัวทำละลายอินทรีย์เป็นตัวกลาง (Solvent-Based Adhesive)

โดยในงานวิจัยนี้ได้เลือกใช้กาวที่หาซื้อได้ทั่วไปในห้องทดลองมา 3 ประเภท ได้แก่ กาวอีพอกซี่ (Epoxy) กาวยางชนิดนีโอลิรีน (Neoprene) และ กาวโพลียูรีเทน (Polyurethane) โดยในแต่ละประเภทแบ่งกาวออกเป็น 3 ชนิด คือ กาวอีพอกซี่ เลือกมาทำการการศึกษา คือ กาวอีพอกซี่แบบแห้งช้า กาวอีพอกซี่แบบทนสารเคมี (Chemicals Resistance) และ กาวอีพอกซี่แบบแห้งช้าชนิดทนน้ำ (Water and Weather Resistance) มีเนื้อกาวที่หลงเหลืออยู่บนพื้นผิวหลังจากที่แห้งแล้ว (Solid Content) ประมาณ 98 เปอร์เซ็นต์ ดังแสดงตามภาพที่ 3.1



(ก) กาวอีพอกซี่แบบแห้งช้า



(ข) กาวอีพอกซี่แบบทนเคมี



(ค) กาวอีพอกซี่แบบทนน้ำ

ภาพที่ 3.1 ชนิดของกาวอีพอกซี่

การโพลียูริเทนหรือพีyu เดือกมาทำการศึกษา คือ การพีyuชนิดผสมโทกอีน การพีyuชนิดไม่ผสมโทกอีน และ การพีyuชนิด Two-Component Resins มีเนื้อการที่หลงเหลืออยู่บนพื้นผิวหลังจากที่แห้งแล้ว (Solid Content) ประมาณ 25 เปอร์เซ็นต์ ดังแสดงในภาพที่ 3.2



(ก) การโพลียูริเทนแบบ
ผสมโทกอีน



(ข) การโพลียูริเทนแบบ
ไม่ผสมโทกอีน



(ค) การโพลียูริเทนแบบ
Two-Component Resins

ภาพที่ 3.2 ชนิดของการโพลียูริเทน

กาวยางนีโอพรีน เดือกมาทำการศึกษา คือ กาวยางนีโอพรีนชนิดผสมโทกอีน กาวยางนีโอพรีนชนิดไม่ผสมโทกอีนและการยางนีโอพรีนชนิด Two-Component Resins มีเนื้อการที่หลงเหลืออยู่บนพื้นผิวหลังจากที่แห้งแล้ว (Solid Content) ประมาณ 25 เปอร์เซ็นต์ ดังแสดงในภาพที่ 3.3



(ก) กาวยางนีโอพรีนแบบ
ผสมโทกอีน



(ข) กาวยางนีโอพรีน
แบบไม่ผสมโทกอีน



(ค) กาวยางนีโอพรีน
แบบ Two-Component Resins

ภาพที่ 3.3 ชนิดของการยางนีโอพรีน

3.2 โฟมที่นำมาทำเป็นแกนกลาง (Core)

โฟมที่นำมาทดสอบทำเป็นแกนกลาง (Core) คือ โพลียูรีเทนโฟม จะมีความหนาแน่น 35 Kg/M³ แสดงตามภาพที่ 3.3



ภาพที่ 3.4 โพลียูรีเทนโฟมที่นำมาทำเป็นแกนกลาง (Core)

3.3 แผ่นประกับบนและล่าง (Face)

แผ่นประกับบนและล่าง (Face) ทำจาก เหล็กปริคร้อน (SS400) มี ส่องขนาด คือ มีขนาด กว้าง 75 มม. ยาว 320 มม. และหนา 16 มม. และ ขนาด กว้าง 75 มม. ยาว 400 มม. หนา 1 มม. มี คุณสมบัติเชิงกล ตามตารางที่ 3.1

ตารางที่ 3.1 คุณสมบัติเชิงกลของเหล็กปริคร้อน SS400

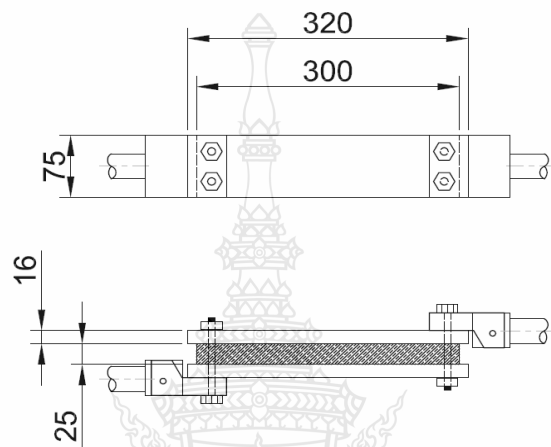
Standard	Grade	Strength	
		Shear (N/mm ²)	Tensile (N/mm ²)
TIS 1227-2539	SS400	330-420	400 - 510

3.4 การทดสอบสมบัติเชิงกลของภา

หลังจากได้ทำการเลือกชนิดของการแล้ว ขั้นตอนต่อไปคือการทำการทดสอบเพื่อหา คุณสมบัติเชิงกลของภาทั้งสามชนิด ได้แก่ สมบัติการต้านทานความเค้นเฉือน และ สมบัติการ ต้านทานความเค้นดัด โดยค่าที่ต้องการคือความสัมพันธ์ระหว่าง แรง และ การเสียรูปของการชนิดนั้น

3.4.1 การเตรียมชิ้นทดสอบหาค่าแรงเฉือน (Shear Stress)

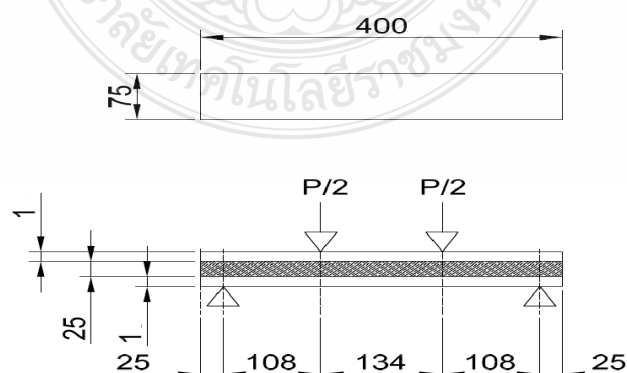
การเตรียมชิ้นทดสอบหาความต้านทานแรงเฉือนตามมาตรฐาน ASTM C273 เชื่อมประกอบโดยต่อแบบการระหว่างเป็นแผ่นประกอบบนและล่าง (Faces) ใช้วัสดุเหล็กแผ่นรีดร้อน (SS400) มีขนาด กว้าง 75 มม. ยาว 320 มม. และหนา 16 มม. แกนกลาง (Core) ทำจากโพลียูรีเทนโฟม มีขนาด กว้าง 75 มม. ยาว 300 มม. และหนา 25 มม.



ภาพที่ 3.5 ชิ้นทดสอบความเค้นเฉือนตามมาตรฐาน ASTM C273

3.4.2 การทดสอบความเค้นดัด (Bending Stress)

การทดสอบหาความเค้นดัด (Bending Stress) ตามมาตรฐาน ASTM C393 เชื่อมประกอบโดยต่อแบบการระหว่างเป็นแผ่นประกอบบนและล่าง (Faces) ใช้วัสดุเหล็กแผ่นรีดร้อน (SS400) มีขนาด กว้าง 75 มม. ยาว 400 มม. และหนา 1 มม. เช็คทำความสะอาดด้วยสารละลายอะซิโตน แกนกลาง (Core) ทำจากโพลียูรีเทนโฟม มีขนาดกว้าง 75 มม. ยาว 400 มม. และหนา 25 มม.



ภาพที่ 3.6 ชิ้นทดสอบความเค้นดัดตามมาตรฐาน ASTM C393

3.5 การเชื่อมประกอบด้วยกาว

ในการเชื่อมประกอบด้วยการต้องมีการเตรียมพื้นผิวที่จะทำการก่อน โดยใช้ทำความสะอาดพื้นผิวด้วยสารละลายอะซิโตันเพื่อขัดคราบน้ำมันและลิ่งสกปรกให้หมดไป

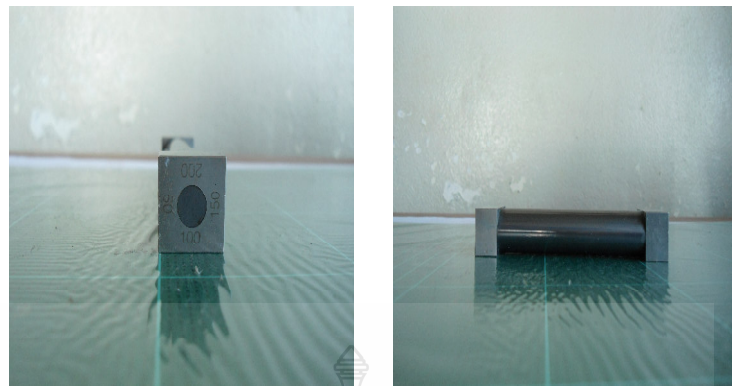


ภาพที่ 3.7 ทำความสะอาดชิ้นงานด้วยสารละลายอะซิโตัน

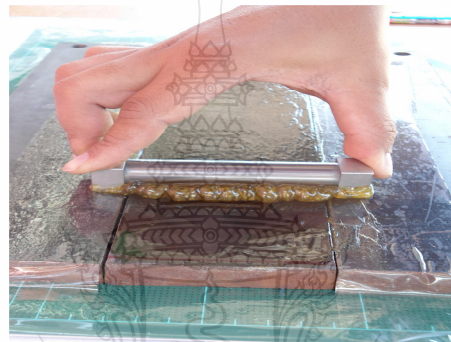


ภาพที่ 3.8 การผสมของกาวที่เป็นแบบ Two-Component Resins

กระบวนการให้เข้ากัน ตามภาพที่ 3.7 หากว่าด้วยอุปกรณ์ที่ใช้สำหรับทำการ โดยให้มีความหนาของกาว 200 μm ด้วยอุปกรณ์ทากาว ตามภาพที่ 3.9 และ 3.10 ตามลำดับ



ภาพที่ 3.9 อุปกรณ์ควบคุมความหนาในการทากาว 200 μm

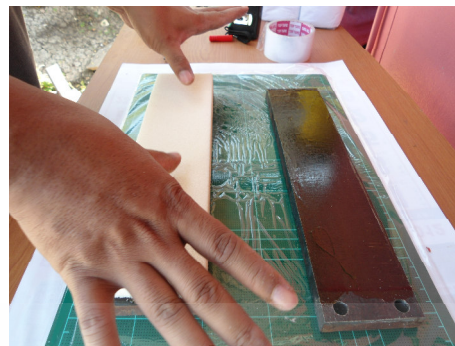


ภาพที่ 3.10 การทากาวให้ได้ความหนา 200 μm

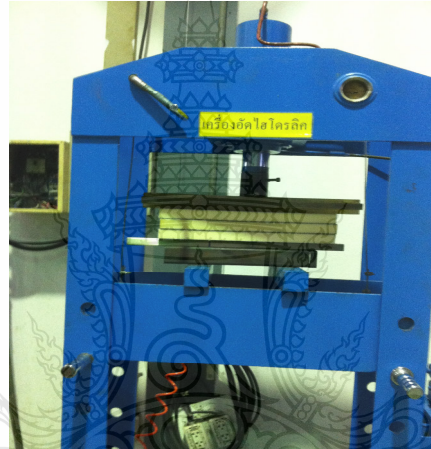


ภาพที่ 3.11 ชิ้นงานที่ทากาวแล้ว

เมื่อทากาวเสร็จแล้วให้ นำฟองน้ำ และ แกนเหล็กมาประกอบติดกันตามภาพที่ 3.12 อัด ประสานด้วยเครื่องอัดไอโอดรอลิก ตามภาพที่ 3.13 และทิ้งไว้ท่ออุณหภูมิห้อง เป็นเวลา 8 ชั่วโมง



ภาพที่ 3.12 ประกอบโครงสร้างวัสดุแซนวิช



ภาพที่ 3.13 การอัดประสานด้วยเครื่องอัดไฮโดรลิก



ภาพที่ 3.14 ชิ้นทดสอบที่ประกอบเป็นโครงสร้างวัสดุแซนวิช ตามมาตรฐาน ASTM C273



ภาพที่ 3.15 ชิ้นทดสอบที่ประกอบเป็นโครงสร้างวัสดุชนิดวิช ตามมาตรฐาน ASTM C393

เมื่อได้ชิ้นงานตามภาพที่ 3.14 และ 3.15 แล้ว ชิ้นงานดังกล่าวจะถูกนำมาทดสอบ โดยที่จุดประสงค์ในการทดสอบเพื่อที่จะวัดค่าความแข็งแรงของการในแต่ละแบบ ในการทดสอบจะทำการทดสอบจนเกิดความเสียหาย

3.6 การทดสอบความเคี้ยวเฉือน (Shear Stress)

นำชิ้นทดสอบมาทดสอบความเคี้ยวเฉือนตามมาตรฐาน ASTM C273 ด้วยเครื่องทดสอบความแข็งแรงของวัสดุ ด้วยอัตราความเร็วคงที่ 2 MM/MIN โดยในแต่ละการทดสอบจะทำการบันทึกขนาดของแรงและค่าการเสียรูป



ภาพที่ 3.16 เครื่องทดสอบแรงเฉือนและแรงดึง GOTECH



ภาพที่ 3.17 การติดตั้งชิ้นงานทดสอบความเค้นเนื้อ

3.7 การทดสอบความเค้นแรงดัด (Bending Stress)

การทดสอบหาค่าความเค้นดัด (Bending Stress) ตามมาตรฐาน ASTM C393 เชื่อมประกอบโดยต่อแบบการระหว่างเป็นแผ่นประับบนและล่าง (Faces) ใช้วัสดุเหล็กแผ่นรีดร้อน (SS400) มีขนาดกว้าง 75 มม. ยาว 400 มม. และหนา 1 มม. เช็คทำความสะอาดด้วยสารละลายอะซิโตน



ภาพที่ 3.18 การติดตั้งชิ้นงานทดสอบความเค้นดัด

บทที่ 4

ผลการทดสอบและวิเคราะห์

4.1 ผลการทดสอบ

ในการศึกษานี้ผู้วิจัยได้ทำการศึกษาคุณสมบัติเชิงกลของกาวทั้งหมดสามประเภท โดยแบ่งประเภทย่อยของการแต่ละประเภทออกมาอีกสามชนิดคือ กาวอีพอกซี่แบบแห้งช้า กาวอีพอกซี่แบบทนสารเคมี (Chemicals Resistance) และกาวอีพอกซี่แบบแห้งช้าชนิดทนน้ำ (Water and Weather Resistance) กาวโพลีอีพูริเทน (PU) คือ กาวพิษุชนิดผสมโภคลูอีน กาวพิษุชนิดไม่ผสมโภคลูอีน และกาวพิษุชนิด Two-Component Resins กาวยางนีโอะพรีน เลือกมาทำการศึกษา คือ กาวยางนีโอะพรีนชนิดผสมโภคลูอีน กาวยางนีโอะพรีนชนิดไม่ผสมโภคลูอีนและการยางนีโอะพรีนชนิด Two-Component-Resins มาทำการทดสอบหาคุณสมบัติความต้านทานแรงเฉือนตามมาตรฐาน ASTM C273 และค่าความต้านทานแรงดัดแบบสี่จุดตามมาตรฐาน ASTM C393

4.1.1 การทดสอบหาสมบัติความต้านทานแรงเฉือน

การทดสอบหาค่าแรงเฉือนของการทั้งสามประเภท มาทำการทดสอบจนเกิดการเสียหายของชิ้นทดสอบ แล้วจึงบันทึกข้อมูลของการทั้งสามประเภท ตามตารางที่ 4.1- 4.3

ตารางที่ 4.1 ค่าความเค้นเฉือนของการอีพอกซี่ (Epoxy)

ชิ้นทดสอบ	กาวอีพอกซี่แบบแห้งช้า (N/mm ²)	กาวอีพอกซี่แบบทนเคมี (N/mm ²)	กาวอีพอกซี่แบบทนน้ำ (N/mm ²)
1	2,550	2,380	2,560
2	2,480	2,350	2,530
3	2,450	2,350	2,510
4	2,390	2,340	2,480
5	2,380	2,330	2,470
ค่าเฉลี่ย	2,450	2,350	2,510

จากตารางที่ 4.1 จะเห็นได้ว่าค่าความต้านทานแรงเฉือนของการอีพอกซี่แบบ ทนน้ำจะมีค่าความต้านทานแรงเฉือนมากที่สุด $2,510 \text{ N/mm}^2$ รองลงมาคือการอีพอกซี่แบบแห้งช้า $2,450 \text{ N/mm}^2$ และการอีพอกซี่แบบทนเคมีจะมีค่าน้อยที่สุด คือ $2,350 \text{ N/mm}^2$

4.1.2 การศึกษาค่าความต้านทานแรงเฉือนของการโพลียูรีเทน (PU)

ตารางที่ 4.2 ค่าความเค้นเฉือนของการโพลียูรีเทน

ชั้นทดสอบ	การโพลียูรีเทนแบบ ผสมโกลูอิน	การโพลียูรีเทนแบบ ไม่ผสมโกลูอิน	การโพลียูรีเทนแบบ Two-Component Resins
	ความเค้นเฉือน (N/mm^2)	ความเค้นเฉือน (N/mm^2)	ความเค้นเฉือน (N/mm^2)
1	2,410	2,330	2,430
2	2,390	2,300	2,410
3	2,360	2,240	2,390
4	2,330	2,220	2,380
5	2,310	2,150	2,360
ค่าเฉลี่ย	2,360	2,240	2,390

จากตารางที่ 4.2 จะเห็นได้ว่าการโพลียูรีเทนแบบ Two-Component Resin จะมีค่าความต้านทานแรงเฉือนมากที่สุด $2,390 \text{ N/mm}^2$ รองลงมาคือการโพลียูรีเทนแบบผสมโกลูอินมีค่า $2,360 \text{ N/mm}^2$ และมีค่าน้อยสุดคือการโพลียูรีเทนแบบไม่ผสมโกลูอิน คือ $2,240 \text{ N/mm}^2$

4.1.3 การศึกษาค่าความต้านทานแรงเฉือนของการยางนีโอพรีน

ตารางที่ 4.3 ค่าความเค้นเฉือนของการยางนีโอพรีน

ชั้นทดสอบ	การยางนีโอพรีนแบบ ผสมโกลูอิน (N/mm^2)	การยางนีโอพรีนแบบ ไม่ผสมโกลูอิน (N/mm^2)	การยางนีโอพรีนแบบ Two-Component Resins (N/mm^2)
1	2,260	2,180	2,360
2	2,210	2,180	2,360
3	2,210	2,140	2,290
4	2,130	2,120	2,280

ตารางที่ 4.3 ค่าความเค้นเนื้องของกาวนีโอพรีน (ต่อ)

ชื่นทดสอบ	กาวยางนีโอพรีนแบบ ผสมโกลูอีน (N/mm ²)	กาวยางนีโอพรีนแบบ ไม่ผสมโกลูอีน (N/mm ²)	กาวยางนีโอพรีนแบบ Two-Component Resins (N/mm ²)
5	2,000	2,000	2,250
ค่าเฉลี่ย	2,160	2,130	2,300

จากตารางที่ 4.3 จะเห็นได้ว่ากาวยางนีโอพรีน แบบ Two-Component Resin จะมีค่าความต้านทานแรงเฉือนมากที่สุด 2,300 N/mm² รองลงมาคือกาวยางนีโอพรีนแบบผสมโกลูอีนมีค่า 2,160 N/mm² และมีค่าน้อยสุดคือกาวโพลียูรีเทนแบบไม่ผสมโกลูอีน คือ 2,130 N/mm²

4.1.2 การทดสอบหาสมบัติการต้านทานความเค้นดัด

การทดสอบความต้านทานความเค้นดัดของกาวทั้งสามประเภท ทดสอบจนชื่นทดสอบเกิดการเสียหายสูงสุด แล้วจึงทำการบันทึกข้อมูลของกาวทั้งสามประเภท ตามตารางที่ 4.4-4.6 ตามลำดับ

ตารางที่ 4.4 ค่าความเค้นดัดของกาวอีพอกซี่

ชื่นทดสอบ	กาวอีพอกซี่แบบแห้งช้า (N/mm ²)	กาวอีพอกซี่แบบทนเคมี (N/mm ²)	กาวอีพอกซี่แบบทนน้ำ (N/mm ²)
1	700	640	660
2	698	636	658
3	694	634	653
4	692	630	650
5	690	628	647
ค่าเฉลี่ย	694	633	653

จากตารางที่ 4.4 จะเห็นได้ว่ากาวอีพอกซี่แบบแห้งช้าจะมีค่าความเค้นดัดมากที่สุด คือ 694 N/mm² รองลงมาคือ กาวอีพอกซี่แบบทนน้ำ มีค่าความเค้นดัด 653 N/mm² และกาวที่มีค่าน้อยที่สุดคือ กาวอีพอกซี่แบบทนเคมี มีค่าความเค้นดัด 633 N/mm²

ตารางที่ 4.5 ค่าความเค้นดัดของガ้วโพลียรีเทน

ชิ้นทดสอบ	ガ้วโพลียรีเทนแบบ ผสมโทกูอีน (N/mm ²)	ガ้วโพลียรีเทนแบบ ไม่ผสมโทกูอีน (N/mm ²)	ガ้วโพลียรีเทนแบบ Two-Component Resins (N/mm ²)
1	600	545	615
2	595	544	610
3	595	540	607
4	593	538	606
5	590	535	600
ค่าเฉลี่ย	594	540	607

จากตารางที่ 4.5 จะเห็นได้ว่าガ้วโพลียรีเทนแบบ Two – Component Resin. จะมีค่าความเค้นดัดมากที่สุด คือ 607 N/mm² รองลงมาคือ ガ้วโพลียรีเทนแบบ ไม่ผสมโทกูอีน มีค่าความเค้นดัด 594 N/mm² และการที่มีค่าน้อยที่สุด คือ ガ้วโพลียรีเทนแบบ ไม่ผสมโทกูอีน มีความเค้นดัด 540 N/mm²

ตารางที่ 4.6 ค่าความเค้นดัดของยางนีโอพรีน

ชิ้นทดสอบ	กาวยางนีโอพรีนแบบ ผสมโทกูอีน (N/mm ²)	กาวยางนีโอพรีนแบบ ไม่ผสมโทกูอีน (N/mm ²)	กาวยางนีโอพรีนแบบ Two-Component Resins (N/mm ²)
1	460	458	480
2	458	455	470
3	456	448	466
4	450	443	460
5	447	440	455
ค่าเฉลี่ย	454	448	466

จากตารางที่ 4.6 จะเห็นได้ว่ากาวยางนีโอพรีน แบบ Two – Component Resin จะมีค่าความเค้นดัดมากที่สุด คือ 466 N/mm² รองลงมาคือ กาวยางนีโอพรีนแบบ ไม่ผสมโทกูอีน มีค่าความเค้นดัด

454 N/mm² และการที่มีค่าน้อยที่สุด คือ การย่างนีโอพรินแบบไม่ผสมโลหะอิน มีความเก็บคัด 448 N/mm²

4.1.3 ผลการทดลองทางกายภาพจากการทดสอบแรงเฉือน

1) ผลการทดลองทางกายภาพความเก็บคืนเนื่องของการอีพอกซี่



ภาพที่ 4.1 การเสียหายของชิ้นทดสอบความเก็บคืนเนื่องที่เชื่อมประกบด้วยการอีพอกซี่

จากภาพที่ 4.1 แนวการเสียหายที่เกิดบนชิ้นทดสอบจะเกิดจากแนวด้านหนึ่ง ไปยังอีกด้านหนึ่ง มีลักษณะเป็นนูมเฉียง แล้วจึงถูกขาดตามแนวทากาวที่เชื่อมประกบ (Interface) จะเห็นได้ว่า มีไฟม珀ลีบูรีเทน ติดอยู่กับเหล็กของชิ้นทดสอบ

2) ผลการทดลองทางกายภาพความเก็บคืนเนื่องของการโพลีบูรีเทน



ภาพที่ 4.2 การเสียหายของชิ้นทดสอบความเก็บคืนเนื่องที่เชื่อมประกบด้วยการโพลีบูรีเทน

จากภาพที่ 4.2 แนวการเสียหายที่เกิดบนชิ้นทดสอบจะเกิดจากแนวค้านหนึ่ง ไปยังอีกแนวค้านหนึ่ง มีลักษณะเป็นเหมือนภูเขา แล้วจึงนิ่กขาดตามแนวการที่เชื่อมประกอบ (Interface) และจะเห็นได้ว่ามีโฟมพอลียูรีเทนติดอยู่กับเหล็กของชิ้นทดสอบ

3) ผลการทดลองทางกายภาพของความยางนีโอพรีน



ภาพที่ 4.3 การเสียหายของชิ้นทดสอบความเค้นเนื้อนที่เชื่อมประกอบด้วยการนีโอพรีน

จากภาพที่ 4.3 แนวการเสียหายที่เกิดบนชิ้นทดสอบจะเกิดจากแนวค้านหนึ่ง ไปยังอีกแนวค้านหนึ่งมีลักษณะเป็นมุนเฉียงประมาณ 45° แล้วจึงนิ่กขาดตามแนวการที่เชื่อมประกอบ (Interface) จะเห็นได้ว่ามีโฟมพอลียูรีเทนติดอยู่กับเหล็กของชิ้นทดสอบ

4.1.4 ผลการทดลองทางกายภาพจากการทดลองความเค้นดัด

1) ผลการทดลองทางกายภาพความเค้นดัดของการอีพอกซี่



ภาพที่ 4.4 การเสียหายของชิ้นทดสอบความเค้นดัดที่เชื่อมประกอบด้วยการอีพอกซี่

จากภาพที่ 4.4 แนวการเสียหายที่เกิดบนชิ้นทดสอบจะเกิดจากแนวค้านหนึ่ง ไปยังอีกแนวค้านหนึ่ง มีลักษณะเป็นมุมเฉียงประมาณ 45° เกิดขึ้นที่บริเวณจุดกดของชิ้นทดสอบ แล้วจึงแยกขาดตามแนวการที่เชื่อมประกอบ (Interface) จะเห็นได้ว่ามีโฟมพอลียูรีเทนติดอยู่กับเหล็กของชิ้นทดสอบ

2) ผลการทดลองทางกายภาพความเค้นดัดของวัสดุโพลียูรีเทน



ภาพที่ 4.5 การเสียหายของชิ้นทดสอบความเค้นดัดที่เชื่อมประกอบด้วยวัสดุโพลียูรีเทน

จากภาพที่ 4.5 แนวการเสียหายที่เกิดบนชิ้นทดสอบจะเกิดจากแนวค้านหนึ่ง ไปยังอีกแนวค้านหนึ่งการเสียหายเกิดขึ้นที่จุดกดของเครื่องทดสอบมีมุมเฉียง เกิดขึ้นที่จุดรองรับชิ้นงาน แล้วจึงเกิดการฉีกขาดตามแนวการที่เชื่อมประกอบ (Interface) จะเห็นได้ว่ามีโฟมพอลียูรีเทนติดอยู่กับเหล็กของชิ้นทดสอบ

3) ผลการทดลองทางกายภาพความเค้นดัดของวัสดุยางนีโอพรีน

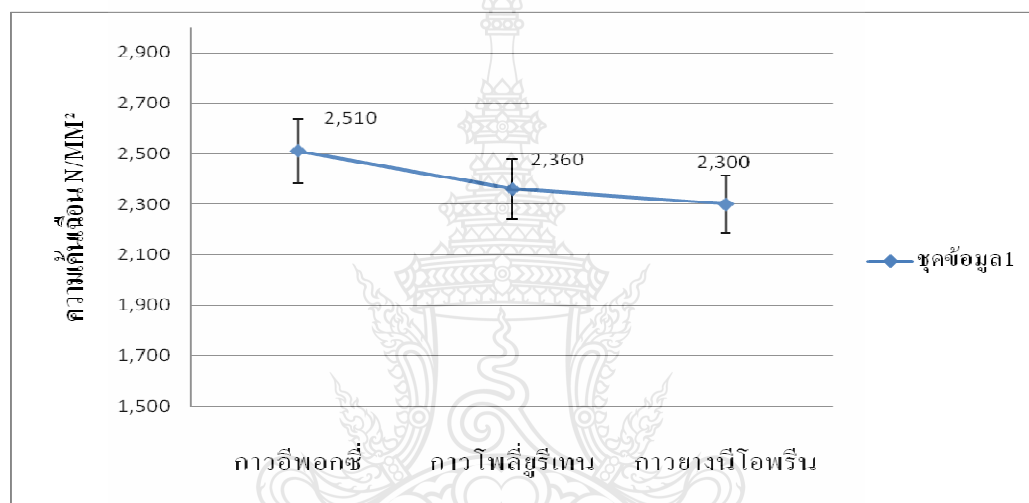


ภาพที่ 4.6 การเสียหายของชิ้นทดสอบความเค้นดัดที่เชื่อมประกอบด้วยวัสดุยางนีโอพรีน

จากการที่ 4.6 แนวการเสียหายที่เกิดบนชิ้นทดสอบจะเกิดจากแนวด้านหนึ่ง ไปยังอีกด้านหนึ่ง มีลักษณะเป็นมุมเฉียงเกิดขึ้นที่ปลายของชิ้นทดสอบ ที่เป็นเช่นนี้ เพราะภาวะมีคุณสมบัติ ยึดหยุ่น ได้ดี แล้วจึงแยกขาดตามแนวการที่เชื่อมประกอบ (Interface) จะเห็นได้ว่ามีโฟมพอลียูรีเทนติดอยู่กับเหล็กของชิ้นทดสอบ

4.2 วิเคราะห์ผลการทดลอง

4.2.1 วิเคราะห์ความด้านทานเค้นเนื้อน (Shear Strength)

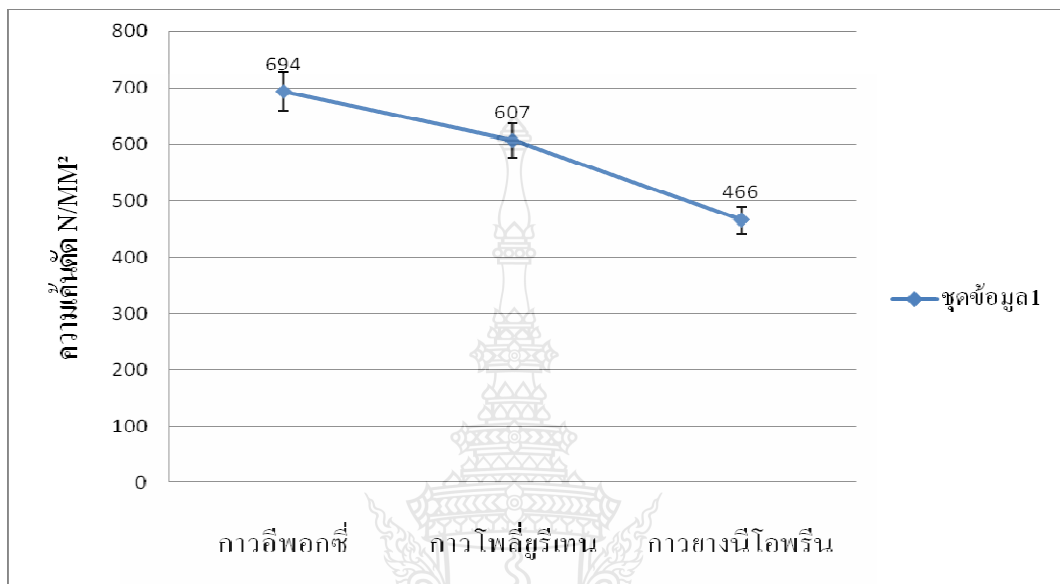


ภาพที่ 4.7 เปรียบเทียบค่าเฉลี่ยความเค้นเนื้อนของกาวอีพอกซี่ กาวโพลียูรีเทนและกาวยางนีโอลิฟรีน

จากการที่ 4.7 กาวอีพอกซี่จะมีค่าเฉลี่ยของความด้านทานแรงเนื้อนได้ดีที่สุดคือ $2,470 \text{ N/mm}^2$ เนื่องจากกาวอีพอกซี่มีเนื้อการที่หลงเหลืออยู่บนพื้นผิวหลังจากที่แห้งแล้วมากที่สุดประมาณ 98 เปอร์เซ็นต์ และมีพันธะแข็งแรงมากเป็นพอกเทอร์โมเซตติ้ง รองลงมาคือ กาวโพลียูรีเทน มีค่าความด้านทานแรงเนื้อน คือ $2,360 \text{ N/mm}^2$ เนื่องจากกาวโพลียูรีเทนที่นำมาทดสอบ มีเนื้อการที่หลงเหลืออยู่บนพื้นผิวหลังจากที่แห้งแล้วประมาณ 25 เปอร์เซ็นต์ และค่าที่มีความด้านทานแรงเนื้อนที่น้อยที่สุดคือ กาวยางนีโอลิฟรีน $2,250 \text{ N/mm}^2$ เนื่องจากมีเนื้อการที่หลงเหลืออยู่บนพื้นผิวหลังจากที่แห้งแล้วประมาณ 25 เปอร์เซ็นต์ กาวโพลียูรีเทนและกาวยางที่นำมาทดสอบจัดอยู่ในพลาสติกชนิดเทอร์โมพลาสติกจึงมีความยืดหยุ่นสูงทำให้แข็งแรงน้อยกวากาวอีพอกซี่ที่เป็นพลาสติกชนิด

เทอร์โมเซ็ตติ้ง และมีเนื้อการที่หลงเหลืออยู่บนพื้นผิวหลังจากที่แห้งแล้ว ประมาณ 25 เปอร์เซ็นต์ ต่างกับการ อีพอกซี่ที่มีเนื้อการที่หลงเหลืออยู่บนพื้นผิวหลังจากที่แห้งแล้ว ประมาณ 98 เปอร์เซ็นต์

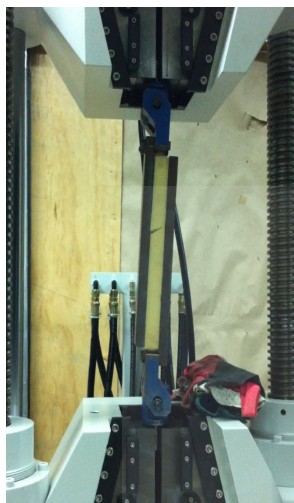
4.2.2 วิเคราะห์ค่าความด้านทานแรงดัด (Bending Strength)



ภาพที่ 4.8 เปรียบเทียบค่าเฉลี่ยแรงดัดของกาวอีพอกซี่ กาวโพลียูรีเทน และกาวยางนีโอลิฟรีน

จากภาพที่ 4.8 กาวอีพอกซี่ จึงมีค่าเฉลี่ยของความด้านทานแรงดัด ได้ดีที่สุด คือ 694 N/mm^2 เนื่องจากกาวอีพอกซี่ มีเนื้อการที่หลงเหลืออยู่บนพื้นผิวหลังจากที่แห้งแล้วมากที่สุด คือ 98 เปอร์เซ็นต์ และมีพันธะแข็งแรงมากเป็นพลาสเทอร์โมเซ็ตติ้ง รองลงมาคือ กาวโพลียูรีเทน มีค่าความด้านทานแรงดัด คือ 607 N/mm^2 เนื่องจากกาวโพลียูรีเทนที่นำมาทดสอบ มีเนื้อการที่หลงเหลืออยู่บนพื้นผิวหลังจากที่แห้งแล้วประมาณ 25 เปอร์เซ็นต์ และค่าที่มีความด้านทานแรงดัดน้อยที่สุด คือ กาวยางนีโอลิฟรีน 466 N/mm^2 เนื่องจากมีเนื้อการที่หลงเหลืออยู่บนพื้นผิวหลังจากที่แห้งแล้วประมาณ 25 เปอร์เซ็นต์ กาวโพลียูรีเทน และกาวยางจัดอยู่ในพลาสติกแบบเทอร์โมพลาสติกจึงมีความยืดหยุ่นสูง ทำให้แข็งแรงน้อยกว่ากาวอีพอกซี่ เพราะเป็นพลาสติกชนิดเทอร์โมเซ็ตติ้ง และมีเนื้อการที่หลงเหลืออยู่บนพื้นผิวหลังจากที่แห้งแล้วประมาณ 98 เปอร์เซ็นต์

4.2.3 การวิเคราะห์ความเสียหายของวัสดุแซนวิชภายในตัวส่วนแรงดึงดัน



(ก) การอีพอกซี่



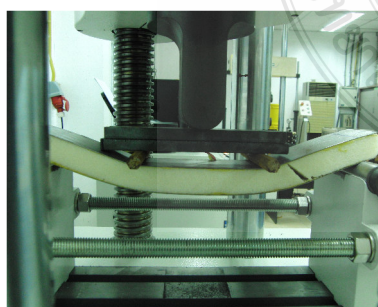
(ข) การ โพลียูรีเทน



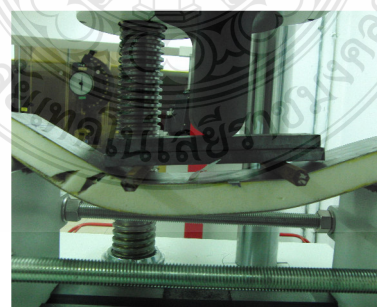
(ค) การยางนีโอฟรีน

ภาพที่ 4.9 ความเสียหายของชิ้นทดสอบภายในตัวส่วนความเค้นเฉือน

จากภาพที่ 4.9 จะเห็นได้ว่าการหักสาม瓣นิคจะเกิดการเสียหายที่เกิดขึ้นจากแกนกลาง (Core) แล้วจึงนิ่กขาดจากด้านหนึ่งไปยังอีกด้านหนึ่ง เพราะว่าแกนกลาง (Core) มีความแข็งแรงน้อยกว่า การที่นำมาใช้ทดสอบ หลังจากนั้นจึงนิ่กขาดออกจากกันแล้วจึงเกิดการนิ่กขาดตามแนวที่เชื่อมด้วยการ (Interface) ความเสียหายนี้เกิดขึ้นเมื่อความเค้นเฉือนของวัสดุแกนมีค่าสูงกว่าความแข็งแรงเฉือนของวัสดุแกน



(ก) การอีพอกซี่



(ข) การ โพลียูรีเทน



(ค) การยางนีโอฟรีน

ภาพที่ 4.10 ความเสียหายของชิ้นทดสอบภายในตัวส่วนความเค้นดัด

จากภาพที่ 4.10 จะเห็นได้ว่าความเสียหายของชิ้นงานที่เชื่อมประกอบด้วยการอีพอกซ์ กาวโพลียูรีเทนและการย่างนีโอพรีน จะเกิดความเสียหายจากแกนกลาง (Core) และมีลักษณะเป็นแนวเฉียงจากด้านหนึ่งไปอีกด้านหนึ่ง แล้วจึงนีกขาดตามแนวทางกาว (Interface) ความเสียหายนี้เกิดขึ้นเมื่อความคืบดัดของวัสดุแกนมีค่าสูงกว่าความแข็งแรงดัดของวัสดุแกน



บทที่ ๕

สรุปผลการทดสอบ

สำหรับเนื้อหาในบทนี้ จะกล่าวถึง ผลสรุปของการวิจัย ในสมบัติเชิงกล กือ ความต้านทาน ความเค้นเนื่อง ความต้านทานความเค้นดัด ของภาอีพอกซี่ การโพลียูรีเทน และกาวยางนีโอพรีน ที่นำมาทดสอบตามมาตรฐาน ASTM C273 และ ASTM C393 รวมถึงข้อเสนอแนะต่าง

5.1 สรุปผลวิจัย

5.1.1 ภาอีพอกซี่ (Epoxy) จะมีสมบัติเชิงกลดีที่สุด ในการทดสอบของการทึ้งสามชนิดจะเห็นว่า ค่าความเค้นเนื่องมากที่สุดมีค่าเฉลี่ย $2,510 \text{ N/mm}^2$ คือภาอีพอกซี่แบบทันน้ำ รองลงมาคือภาอีพอกซี่แบบแห้งช้า มีค่าความต้านทานแรงเฉือน $2,450 \text{ N/mm}^2$ กาวที่มีค่าน้อยที่สุดคือภาอีพอกซี่แบบทัน เคเม คือ $2,350 \text{ N/mm}^2$ และมีค่าความเค้นดัดที่ดีที่สุดคือ กาวอีพอกซี่แบบแห้งช้า 694 N/mm^2 รองลงมา คือภาอีพอกซี่แบบทันน้ำ 653 N/mm^2 และมีความเค้นดัดน้อยที่สุดคือ กาวอีพอกซี่แบบทันเคเม 633 N/mm^2

5.1.2 กาวโพลียูรีเทน (Polyurethane) จะมีสมบัติเชิงกรองจากการอีพอกซี่ แต่จะมีสมบัติเชิงกล ดีกว่ากาวยางนีโอพรีน ซึ่งจะมีค่าเฉลี่ยความเค้นเนื่องมากที่สุด $2,390 \text{ N/mm}^2$ คือกาวโพลียูรีเทนแบบ Two – Component Resin เนื่องจากมีการผสม Hardener ทำให้มีการเปลี่ยนแปลงทางกายภาพ และ รองลงมาคือกาวโพลียูรีเทนแบบผสมโทลูอิน $2,360 \text{ N/mm}^2$ และกาวโพลียูรีเทนแบบไม่ผสมโทลูอิน $2,240 \text{ N/mm}^2$ และมีความเค้นดัดเฉลี่ยมากที่สุด ก็ยังเป็นกาวโพลียูรีเทนแบบ Two – component resin. 607 N/mm^2 รองลงมาคือกาวโพลียูรีเทนแบบผสมโทลูอิน 594 N/mm^2 และมีค่าน้อยที่สุดคือ กาว โพลียูรีเทนแบบไม่ผสมโทลูอิน เนื่องจากกาวชนิดนี้มีค่าการแห้งตัวเร็วมากทำให้การเริ่มแห้งตัวก่อน การประกอบชิ้นงานเสร็จ

5.2.3 กาวยางนีโอพรีน (Neoprene) จะมีสมบัติเชิงกลน้อยที่สุด กาวที่มีค่าเฉลี่ยความเค้นเฉือนที่ดี ที่สุดคือ กาวยางนีโอพรีนแบบ Two – Component Resin $2,300 \text{ N/mm}^2$ รองลงมาคือ กาวยางนีโอพรีน แบบผสมโทลูอิน $2,160 \text{ N/mm}^2$ และมีค่าน้อยที่สุด คือ กาวยางนีโอพรีนแบบไม่ผสมโทลูอิน $2,130 \text{ N/mm}^2$ และมีความเค้นดัดเฉลี่ยมากที่สุด ก็ยังเป็นกาวยางนีโอพรีนแบบ Two – Component Resin 466 N/mm^2 รองลงมาคือกาวยางนีโอพรีนแบบผสมโทลูอิน 454 N/mm^2 และมีค่าน้อยที่สุดคือ กาวยาง นีโอพรีนแบบไม่ผสมโทลูอิน 448 N/mm^2 เนื่องจากกาวชนิดนี้มีค่าการแห้งตัวเร็วมากทำให้การเริ่ม แห้งตัวก่อนการประกอบชิ้นงานเสร็จ

5.1.4 การทึ้ง 3 ชนิด สามารถใช้เป็นตัวเขื่อมประกบระหว่างวัสดุต่างชนิดกันได้เนื่องจากจะเห็นได้ว่าชิ้นทดสอบมีการเสียหายเกิดขึ้นจากแgnation เพราะว่าค่าความเค้นของวัสดุแgnation มีค่าสูงกว่าความแข็งแรงของวัสดุแgnation การเสียหายจะเกิดที่แgnation ก่อนที่จะไปเสียหายที่แนวเขื่อมประกบของการ

5.1.5 สมบัติเชิงกลของเหล็กรีดร้อน (SS400) มีค่าความเนื้อนที่น้อยกว่าค่าความเค้นเนื้อนของโครงสร้างแซนวิช โดยที่เหล็ก SS400 มีค่าความเค้นเนื้อนสูงสุด 420 N/mm^2 แต่โครงสร้าง แซนวิชมีค่าความเค้นเนื้อนสูงสุด คือ $2,510 \text{ N/mm}^2$

5.2 ข้อเสนอแนะ

การที่มีค่าการแห้งตัว (Drying Time) ที่เร็วทำให้การเขื่อมประกบชิ้นงานทำได้ไม่ดี เนื่องจากความล้าในการที่มีค่าการแห้งตัวที่ใกล้เคียงกัน



เอกสารอ้างอิง

- [1] Allen, H.G. 1969. Analysis and Design of Structural Sandwich Panels, Pergamon: Press. London. UK.
- [2] Burman, M. 1998. Fatigue Crack Initiation and Propagation in Sandwich Structures. Division of Lightweight Structures. Royal Institute of Technology. Stockholm. Sweden.
- [3] Adam,R.D.(2007).Adhesive bonding science,technology and application.Boca raton,FL:CRC Press.
- [4] ปืนสุดา ปิติรักษ์สกุล.(2547). โพลิเมอร์ (พิมพ์ครั้งที่ 12). กรุงเทพฯ:สำนักพิมพ์มหาวิทยาลัยรามคำแหง.
- [5] ณัฐวดี สุ่มโนจิตราภรณ์ และสุปรานี แก้วกิริมณี . การศึกษาอิทธิพลของตัวเร่งปฏิกิริยา อุณหภูมิ และแสงอุตสาหกรรม ในการเกิดปฏิกิริยาเชื่อมต่อของวัสดุ.วิทยานิพนธ์ ปริญญาบัณฑิต มหาวิทยาลัยบูรพา, 2555
- [6] อรรถพล ตะเร.(2551).คุณสมบัติและการทดสอบวัสดุ.กรุงเทพฯ: สำนักพิมพ์มหาวิทยาลัยรามคำแหง.
- [7] Hohe, J. and Librescu, L. 2004. Core and Face-Sheet Anisotropy in Deformation and Buckling of Sandwich Panels. AIAA Journal, 42: 149-158.
- [8] ASTM C273, “Standard Test for Shear Properties of Sandwich Constructions”. American Society for Testing and Materials Annual Book of ASTM Standards, 1995.
- [9] ASTM standard C393, “Standard Test for Flexural properties of Sandwich Constructions”. American Society for Testing and Materials Annual Book of ASTM Standards, 1995.
- [10] Ashcroft,I.A.,Comyn,J.,& Tellwright, S.(2009).Adhesives for automotive windscreens replacement: Kinetics of cure and bond strength. International Journal of Adhesion & Adhesive, 29, 155 -156
- [11] Sawa, T., Liu, J., Nakano, K. and Tanaka., J., A two – dimensional stress analysis of single – lab adhesive joint of dissimilar adherends subjected to tensile load, ournal of Adhesion Science and Technology, 14, 43-66,200
- [12] Dechwayukul, C., Rubin, C. A., and Hahn, G.T., Analysis of the effect thin sealant layers in Aircraft Structure Joint AIAA Journal, 41, 2216 – 2218, 2003.

- [13] Dechwayukul, C., Thongruang, W., Suwannao J. and Fongsamoot, T., Spring Element for modeling of 2-D adhesively bonded lab joints, Conference Mechanical Engineering network of Thailand, 47-51, 2003
- [14] Fernandez-Garcia, J. C., Huerta, F. and Orgiles-Barcelo, A.C. 1990. Effect of different surface modifications on the adhesion of vulcanized styrene-butadiene rubber. Rubber chemistry and technology. 64: 510-521.
- [15] Lowson, D.f., Kim, K.J. and Fritz, T.L. 1997. Chemical modification of rubber surfaces: XPS survey of the reaction of trichloroisocyanuric acid at the surfaces of vulcanized elastomers. Rubber chemistry and technology. 69:245-252.







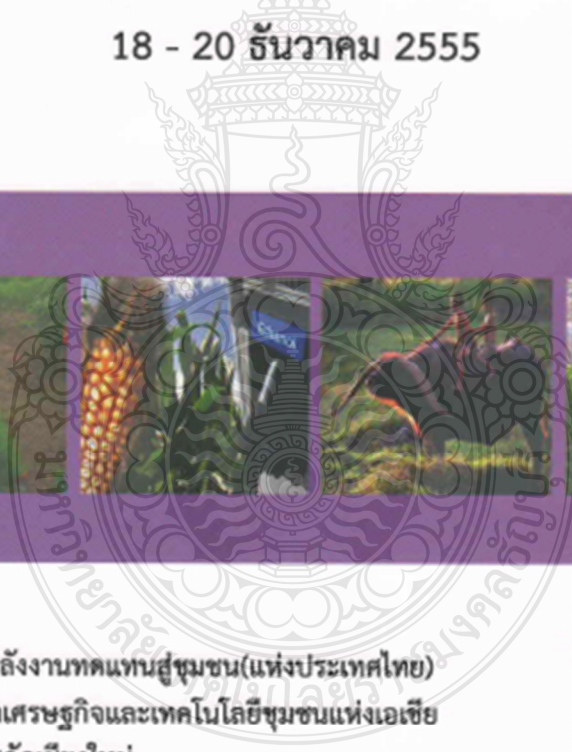

**Department of Alternative
Energy Development and Efficiency
MINISTRY OF ENERGY**

กำหนดการและบทความ



**การประชุมสัมมนาวิชาการ
พลังงานทดแทนสู่ชุมชนแห่งประเทศไทย ครั้งที่ 5**
The 5th Thailand Renewable Energy For Community Conference

TREC-5
18 - 20 ธันวาคม 2555





**จัดโดย สมาคมพลังงานทดแทนสู่ชุมชน(แห่งประเทศไทย)
ณ สถาบันพัฒนาเศรษฐกิจและเทคโนโลยีชุมชนแห่งเอเชีย
มหาวิทยาลัยราชภัฏเชียงใหม่**

adiCET

WELCOME TO TREC-5

adiCET | CMR




**การประชุมสัมมนาวิชาการ
พลังงานทดแทนสู่ชุมชนแห่งประเทศไทย**

The 5th Thailand Renewable Energy for Community Conference (TREC-5)

18-20 December 2555

หน้าแรก
เมนู
Call For Papers
ความเป็นมา
สารจากประธาน
คณะกรรมการ
กำหนดการสำคัญ
โปรแกรมการประชุม
การส่งบทความ
การลงทะเบียน
Social Program
สถานที่จัดงาน
สถานที่พักและการเดินทาง
ผู้สนับสนุน
ติดต่อเรา

การส่งบทความ	กำหนดการสำคัญ	สถานที่จัดงาน	ติดต่อเรา														
คณะกรรมการผู้ทรงคุณวุฒิ <ul style="list-style-type: none"> 1. ศ.ดร.วัฒนพงศ์ รักษ์เรือง 2. ศ.ดร.นงนกเกียรติ เกียรติศิริโจน 3. ศ.ดร.อดุลย์ศักดิ์ รัตนเดชโข 4. ศ.ดร.จงจิตร์ ทิรญูลา 5. Prof. Dr. Joseph KHEDARI 6. ศ.ดร.นฤบุตร สงวนนาพิทักษ์ 7. ผศ.ดร.สมชัย หิรัญโรม 8. ผศ.ดร.สมหมาย คิวสลาด 9. คณ.วันนนท์ ทองสกิด 10. ผศ.ดร.เรืองเดช วงศ์หล้า 																	
คณะกรรมการดำเนินงาน <table border="1" style="width: 100%; border-collapse: collapse;"> <tr><td>ดร. วิรชัย ไกรนรินทร์</td><td>ประธาน</td></tr> <tr><td>ดร. พลเมธุ์ นภิปัช्चิม</td><td>รองประธาน</td></tr> <tr><td>ดร. กฤษณ์ชัย ภูมิคิดพิชญ์</td><td>กรรมการ</td></tr> <tr><td>ผศ.ดร. ต่อพงศ์ ภิรัชนาดี</td><td>กรรมการ</td></tr> <tr><td>ดร. สุมนมาลย์ เนียมเหลา</td><td>กรรมการ</td></tr> <tr><td>ดร. วรจิต เศรษฐพรค์</td><td>กรรมการและเลขานุการ</td></tr> </table>				ดร. วิรชัย ไกรนรินทร์	ประธาน	ดร. พลเมธุ์ นภิปัช्चิม	รองประธาน	ดร. กฤษณ์ชัย ภูมิคิดพิชญ์	กรรมการ	ผศ.ดร. ต่อพงศ์ ภิรัชนาดี	กรรมการ	ดร. สุมนมาลย์ เนียมเหลา	กรรมการ	ดร. วรจิต เศรษฐพรค์	กรรมการและเลขานุการ		
ดร. วิรชัย ไกรนรินทร์	ประธาน																
ดร. พลเมธุ์ นภิปัช्चิม	รองประธาน																
ดร. กฤษณ์ชัย ภูมิคิดพิชญ์	กรรมการ																
ผศ.ดร. ต่อพงศ์ ภิรัชนาดี	กรรมการ																
ดร. สุมนมาลย์ เนียมเหลา	กรรมการ																
ดร. วรจิต เศรษฐพรค์	กรรมการและเลขานุการ																
คณะกรรมการฝ่ายนักวิชาการ <table border="1" style="width: 100%; border-collapse: collapse;"> <tr><td>ดร. ณัฐิยา ตันครานนท์</td><td>ประธาน</td></tr> <tr><td>ดร. กฤษณ์ชัย ภูมิคิดพิชญ์</td><td>รองประธาน</td></tr> <tr><td>ดร. วชระ วงศ์ปัญญา</td><td>กรรมการ</td></tr> <tr><td>ดร. อุนลส่อง ธนารักษ์</td><td>กรรมการ</td></tr> <tr><td>ดร. ปรัชพิพาร์ ธนารักษ์</td><td>กรรมการ</td></tr> <tr><td>ดร. วิภาดา ยังประยูร</td><td>กรรมการ</td></tr> <tr><td>นางสาวธิรลักษณ์ สิทธิรัตน์</td><td>กรรมการและเลขานุการ</td></tr> </table>				ดร. ณัฐิยา ตันครานนท์	ประธาน	ดร. กฤษณ์ชัย ภูมิคิดพิชญ์	รองประธาน	ดร. วชระ วงศ์ปัญญา	กรรมการ	ดร. อุนลส่อง ธนารักษ์	กรรมการ	ดร. ปรัชพิพาร์ ธนารักษ์	กรรมการ	ดร. วิภาดา ยังประยูร	กรรมการ	นางสาวธิรลักษณ์ สิทธิรัตน์	กรรมการและเลขานุการ
ดร. ณัฐิยา ตันครานนท์	ประธาน																
ดร. กฤษณ์ชัย ภูมิคิดพิชญ์	รองประธาน																
ดร. วชระ วงศ์ปัญญา	กรรมการ																
ดร. อุนลส่อง ธนารักษ์	กรรมการ																
ดร. ปรัชพิพาร์ ธนารักษ์	กรรมการ																
ดร. วิภาดา ยังประยูร	กรรมการ																
นางสาวธิรลักษณ์ สิทธิรัตน์	กรรมการและเลขานุการ																
คณะกรรมการฝ่ายจัดหารายได้และการลงคะแนน <table border="1" style="width: 100%; border-collapse: collapse;"> <tr><td>ศ.ดร. วัฒนพงศ์ รักษ์เรือง</td><td>ประธาน</td></tr> <tr><td>ดร. วิรชัย ไกรนรินทร์</td><td>รองประธาน</td></tr> <tr><td>ดร. พลเมธุ์ นภิปัช्चิม</td><td>กรรมการ</td></tr> <tr><td>ดร. สุมนมาลย์ เนียมเหลา</td><td>กรรมการและเลขานุการ</td></tr> </table>				ศ.ดร. วัฒนพงศ์ รักษ์เรือง	ประธาน	ดร. วิรชัย ไกรนรินทร์	รองประธาน	ดร. พลเมธุ์ นภิปัช्चิม	กรรมการ	ดร. สุมนมาลย์ เนียมเหลา	กรรมการและเลขานุการ						
ศ.ดร. วัฒนพงศ์ รักษ์เรือง	ประธาน																
ดร. วิรชัย ไกรนรินทร์	รองประธาน																
ดร. พลเมธุ์ นภิปัช्चิม	กรรมการ																
ดร. สุมนมาลย์ เนียมเหลา	กรรมการและเลขานุการ																
คณะกรรมการฝ่ายสถานที่และภานพนา <table border="1" style="width: 100%; border-collapse: collapse;"> <tr><td>ดร. วันวี หาญเมืองใจ</td><td>ประธาน</td></tr> <tr><td>นายอุษามาน ศรีแก้ว</td><td>รองประธาน</td></tr> <tr><td>นายกฤษณะ ศรีรุปก</td><td>กรรมการ</td></tr> <tr><td>นางปณิตา ลิ่มสกุล</td><td>กรรมการ</td></tr> <tr><td>นายอาวนนท์ ผัดแಪง</td><td>กรรมการและเลขานุการ</td></tr> </table>				ดร. วันวี หาญเมืองใจ	ประธาน	นายอุษามาน ศรีแก้ว	รองประธาน	นายกฤษณะ ศรีรุปก	กรรมการ	นางปณิตา ลิ่มสกุล	กรรมการ	นายอาวนนท์ ผัดแಪง	กรรมการและเลขานุการ				
ดร. วันวี หาญเมืองใจ	ประธาน																
นายอุษามาน ศรีแก้ว	รองประธาน																
นายกฤษณะ ศรีรุปก	กรรมการ																
นางปณิตา ลิ่มสกุล	กรรมการ																
นายอาวนนท์ ผัดแಪง	กรรมการและเลขานุการ																
คณะกรรมการฝ่ายประชาสัมพันธ์ <table border="1" style="width: 100%; border-collapse: collapse;"> <tr><td>ดร. วรจิต เศรษฐพรค์</td><td>ประธาน</td></tr> <tr><td>ดร. บุญยัง ปล่องกลาง</td><td>รองประธาน</td></tr> <tr><td>ดร. สุมนมาลย์ เนียมเหลา</td><td>กรรมการ</td></tr> <tr><td>อ. เจนจิรา เปี้ยนต์</td><td>กรรมการ</td></tr> <tr><td>นายภาคพูงษ์ อินตัชังค์</td><td>กรรมการและเลขานุการ</td></tr> </table>				ดร. วรจิต เศรษฐพรค์	ประธาน	ดร. บุญยัง ปล่องกลาง	รองประธาน	ดร. สุมนมาลย์ เนียมเหลา	กรรมการ	อ. เจนจิรา เปี้ยนต์	กรรมการ	นายภาคพูงษ์ อินตัชังค์	กรรมการและเลขานุการ				
ดร. วรจิต เศรษฐพรค์	ประธาน																
ดร. บุญยัง ปล่องกลาง	รองประธาน																
ดร. สุมนมาลย์ เนียมเหลา	กรรมการ																
อ. เจนจิรา เปี้ยนต์	กรรมการ																
นายภาคพูงษ์ อินตัชังค์	กรรมการและเลขานุการ																
คณะกรรมการฝ่ายพัธิการและการต้อนรับ <table border="1" style="width: 100%; border-collapse: collapse;"> <tr><td>ดร. วรจิต เศรษฐพรค์</td><td>ประธาน</td></tr> <tr><td>อ. เจนจิรา เปี้ยนต์</td><td>รองประธาน</td></tr> <tr><td>ดร. บุญยัง ปล่องกลาง</td><td>กรรมการ</td></tr> <tr><td>ดร. ณัฐิยา ตันครานนท์</td><td>กรรมการ</td></tr> <tr><td>ดร. วันวี หาญเมืองใจ</td><td>กรรมการ</td></tr> <tr><td>นางปณิตา ลิ่มสกุล</td><td>กรรมการและเลขานุการ</td></tr> </table>				ดร. วรจิต เศรษฐพรค์	ประธาน	อ. เจนจิรา เปี้ยนต์	รองประธาน	ดร. บุญยัง ปล่องกลาง	กรรมการ	ดร. ณัฐิยา ตันครานนท์	กรรมการ	ดร. วันวี หาญเมืองใจ	กรรมการ	นางปณิตา ลิ่มสกุล	กรรมการและเลขานุการ		
ดร. วรจิต เศรษฐพรค์	ประธาน																
อ. เจนจิรา เปี้ยนต์	รองประธาน																
ดร. บุญยัง ปล่องกลาง	กรรมการ																
ดร. ณัฐิยา ตันครานนท์	กรรมการ																
ดร. วันวี หาญเมืองใจ	กรรมการ																
นางปณิตา ลิ่มสกุล	กรรมการและเลขานุการ																

Copyright © 2010 | Powered By ARIT cmru

สารบัญ

บทความ		หน้า
กลุ่มที่ 4 การประทัดพลังงาน (EC) (ต่อ)		
EC011	การทดสอบสมรรถนะของพัดลมเซนติฟูกอลเพื่อเปรียบเทียบกับการคำนวณ โดยใช้การคำนวณทางพลศาสตร์ของเหลว สมพจน์ คำแก้ว คุณกฤษ กิตติพร บุญฤทธิ์ ปันตาลี บำรุง ช่างตรี	346
กลุ่ม 5 วัสดุศาสตร์เพื่อการพัฒนาพัลส์งานและการอนุรักษ์ (ME)		
ME001	อิฐอิฐของอุณหภูมิการอบคืบตัวที่มีผลต่อสมบัติทางกลของวัสดุ AISI 4140 อรรถพล ไชยรา ศิวกร อ่างทอง	353
ME002	การแยก 4-อะมิโนพินออลด้วยกระบวนการ Micellar-Enhanced Ultrafiltration (MEUF) โดยใช้สารลดแรงตึงผิวผสม SDS/CTAB กนกพร ฉ่องสวนอ้อย อ้ำไฟ ชนะไชย	357
ME003	การวิเคราะห์แพลงค์ตันน้ำร้อนจากวัสดุโพลีเมอร์โดยวิธีไฟ茵ต์เอลิเมนต์ จิรพงษ์ พงษ์สีทอง มานุศักดิ์ จันทอง มนพ แสงแหง วรุณี อริยวิริยะนันท์ พงศ์พิชญ์ ตวนภูษา จักรวาล บุญหวาน นุกูล เอื้อพันธ์เกรชุณ พงษ์พิคณ เมืองเจริญ ^{ศุภชาติ จงไพบูลย์พัฒนา}	364
ME004	แ场รับความร้อนพัลส์งานแสงอาทิตย์ทำจากวัสดุเทอร์โมพลาสติก : ผลของค่าการนำ ความร้อนและขนาดพื้นที่ดูดซับแสง รัชชัย มีแก้ว วรุณี อริyawiriyannan ^ศ มนพ แสงแหง พงศ์พิชญ์ ตวนภูษา ^ศ จักรวาล บุญหวาน นุกูล เอื้อพันธ์เกรชุณ พงษ์พิคณ เมืองเจริญ ศุภชาติ จงไพบูลย์พัฒนา	376
ME005	การศึกษาอิทธิพลของภาวะในการเพื่อปรับเปลี่ยนวัสดุชนิด มนตรี การพัสดุ ศิริชัย ต่อสุก	384
ME006	การทำเชลล์แสงอาทิตย์สีข้อมไวแสงไฟท่านเนียมไดออกไซด์ตัวอิเล็กโทรไลท์กึ่งของแข็ง ลุรศักดิ์ แสนหวีสุข กิตติชัย โลพันนา เทพกร ลีลาเดช	388

การประชุมสัมมนาเชิงวิชาการพัฒนาหดแทนสู่ชุมชนแห่งประเทศไทย ครั้งที่ 5
18 – 20 ธันวาคม 2555 มหาวิทยาลัยราชภัฏเชียงใหม่

การศึกษาอิทธิพลของการเชื่อมประกบแผ่นวัสดุแซนวิช Influence Study of the Adhesion for Joining Sandwich Material Joint.

ME05

มนตรี การพัฒน์ ศิริชัย ต่อสุกุล

สาขาวิชาวิศวกรรมการผลิต คณะวิศวกรรมศาสตร์ มหาวิทยาลัยเทคโนโลยีราชมงคลชัยบูรี

อ.ชัยบูรี จ.ปทุมธานี 12110 โทร 08 6344 5244 E-mail: gear_gold@hotmail.com

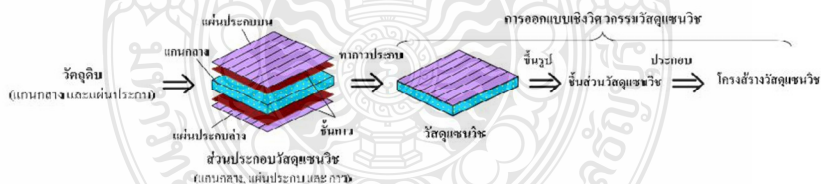
1. บทคัดย่อ

งานวิจัยนี้เป็นการศึกษาอิทธิพลของการเชื่อมประกบแผ่นวัสดุแซนวิช (Sandwich Material) เพื่อศึกษาหาสมบัติ เชิงกลของความแรงและเพื่อพัฒนากระบวนการผลิตของวัสดุแซนวิช โดยโครงสร้างของวัสดุแซนวิชที่นำมาทดสอบประกอบด้วย แผ่นประกบด้านบนและด้านล่างทำจากเหล็กรีดร้อน (SS400) แกนกลางทำจากโพลี่ไธเรนใหม่ ชนิดของภาชนะที่นำมาทดสอบมี 3 ประเภท คือ การอีพ็อกซ์ กาแฟโพลี่ไธเรน และกาแฟยานโนโลบีริน ทำการที่ความหนา 200 μm . ทึ้งไว้ที่อุณหภูมิห้องเป็นเวลา 8 ชั่วโมง นำมาทำการทดสอบคุณสมบัติเชิงกลหาก้าวตามแรงด้านทานทางแรงเฉือน ตามมาตรฐาน ASTM C-273 พบร้า 3 ประเภท มีค่าความด้านทานทางแรงเฉือนใกล้เคียงกันเนื่องจากขั้นตอนทดสอบมีการฉีกขาดที่แยกไฟฟ้า จึงสรุปได้ว่าการทั้ง 3 ประเภท มีคุณสมบัติในการเชื่อมประกบโครงสร้างวัสดุแซนวิชที่แผ่นประกบบนและล่าง (Faces) ใช้วัสดุเหล็กแผ่นรีดร้อน (SS400) แผ่นกลาง (Core) ทำจากใหม่

คำสำคัญ : โครงสร้างวัสดุแซนวิช, การ, ความด้านทานทางแรงเฉือน, มาตรฐาน ASTM C273

2. บทนำ

โครงสร้างแซนวิช (Sandwich structure) เป็นโครงสร้างประเภทหนึ่งของวัสดุเชิงประกอบ (composite material) ซึ่งประกอบด้วยแผ่นประกบบนและล่าง (Faces) มีความบางแต่มีความแข็งแรงสูง ส่วนแกนกลาง (Core) เป็นวัสดุอ่อน [1] วัสดุแซนวิชถูกนำมาประยุกต์ใช้เพื่อเพิ่มความแข็งแกร่ง และความแข็งแรงของโครงสร้าง โดยมีคุณสมบัติเด่นคือ มีโครงสร้างเบา [2] แผ่นประกบรับความต้านทาน และความเครื่องดัด สำหรับงานก่อสร้างรับความเครื่องดัดเนื่องจากน้ำ [3]



รูปที่ 1 โครงสร้างของวัสดุแซนวิช

แผ่นประกบและแกนของวัสดุแซนวิชจะถูกเชื่อมประกบเข้าด้วยกัน ด้วยการหั่นรูปที่ 1 โดยจะใช้การอีพ็อกซ์เป็นส่วนใหญ่ และในปัจจุบันการที่ใช้งานมีอยู่หลายชนิด ในงานวิจัยนี้จึงทำการวิจัยการหั่นรูปที่ 1 ซึ่งมีรากค่าต่ำกว่าการอีพ็อกซ์และสามารถหั่นรูปและเกิดการเสียหายของชิ้นงาน ทำให้ลดต้นทุนในกระบวนการผลิต และเพิ่มอายุการใช้งานของวัสดุแซนวิช

3. วิธีการทดลอง

ทำการทดสอบหาค่าความต้านทานแรงเฉือน (Shear stress) ตามมาตรฐาน ASTM C-273 เพื่อประเมิน抵抗力ต่อแบบการระหว่างแผ่นกระดาษและล่าง (Facets) ที่จากวัสดุเหล็กและรีดร้อน (SS400) ลักษณะกว้าง 75 MM. ยาว 320 MM. และหนา 16 MM. เช็คความสะอาดด้วยเชือกโคน ส่วนแกนกลาง (Core) ที่จากโพเมรีนีนาเดกกว้าง 75 MM. ยาว 300 MM. และหนา 25 MM. ชนิดของglasที่นำมาทดสอบมี 3 ประเภท แต่ละประเภทแบ่งออกเป็น 3 ชนิดคือ การอีพ็อกซี่แบบหัวเข้า การอีพ็อกซี่แบบทนเค็ม การอีพ็อกซี่แบบหนานี้ การโพลีไธเรนแบบผสมโพลีอีวีน การโพลีไธเรนแบบ Two-component resins การยางนีโอบรีนแบบผสมโพลีอีวีน การยางนีโอบรีนแบบไม่มีผสมโพลีอีวีน และการยางนีโอบรีนแบบ Two-component resins หากว่าหักแผ่นในกระบวนการนี้จะมีความหนาที่ ความหนา 200 μm. อัดประسانเป็นตัวยันที่ไว้ที่อุณหภูมิห้อง เป็นเวลา 8 ชั่วโมง หลังจากนั้นนำขันทดสอบแรงเฉือนด้วยเครื่องทดสอบความแข็งแรงของวัสดุ ด้วยอัตราความเร็วคงที่ 2 กก/ก/ก. ทดสอบทั้งหมดอย่างละ 5 ชั้น



รูปที่ 2 การติดตั้งขันทดสอบตามมาตรฐาน ASTM C-273

4. ผลการทดลอง

จากการเตรียมการทดสอบขั้นงาน ตามมาตรฐาน ASTM C-273 ตามรูปที่ 2 ให้สามารถทราบถึงค่าความต้านทานแรงเฉือนของglasในชนิดต่างๆ ตามตารางที่ 1 – 3 และทราบถึงลักษณะในการเสียหายของโครงสร้างวัสดุชนิดนี้ จะเกิดขึ้นที่ แกนโพม ตามรูปที่ 3 เพื่อยืนยันหากขันทดสอบ

ตารางที่ 1 แสดงการทดสอบแรงเฉือนของglasอีพ็อกซี่

ขันทดสอบ	การอีพ็อกซี่ แบบหัวเข้า	การอีพ็อกซี่ แบบทนเค็ม	การอีพ็อกซี่ แบบหนานี้
	ค่าความเด่นเฉือน (kN.)	ค่าความเด่นเฉือน (kN.)	ค่าความเด่นเฉือน (kN.)
1	2.55	2.33	2.51
2	2.48	2.35	2.48
3	2.39	2.38	2.56
4	2.38	2.35	2.53
5	2.45	2.34	2.47
ค่าเฉลี่ย	2.45	2.35	2.51

ตารางที่ 2 แสดงการทดสอบค่าความต้านทานของกาวการโพลียรีเทน

ชั้นทดสอบ	กาวโพลียรีเทนแบบผสมโพลิอีน	กาวโพลียรีเทนแบบไม่ผสม โพลิอีน	กาวโพลียรีเทนแบบ Two-component resins
	ค่าความต้านทาน (kN.)	ค่าความต้านทาน (kN.)	ค่าความต้านทาน (kN.)
1	2.41	2.33	2.39
2	2.36	2.30	2.43
3	2.31	2.22	2.41
4	2.39	2.24	2.38
5	2.33	2.15	2.36
ค่าเฉลี่ย	2.36	2.25	2.34

ตารางที่ 3 แสดงการทดสอบค่าความต้านทานของกาวยางนีโอปาร์กิน

ชั้นทดสอบ	กาวยางนีโอปาร์กิน แบบผสมโพลิอีน	กาวยางนีโอปาร์กิน แบบไม่ผสมโพลิอีน	กาวยางนีโอปาร์กิน Two-component resins
	ค่าความต้านทาน (kN.)	ค่าความต้านทาน (kN.)	ค่าความต้านทาน (kN.)
1	2.21	2.12	2.36
2	2.13	2.14	2.28
3	2.26	2.18	2.25
4	2.21	2.00	2.36
5	2.00	2.18	2.29
ค่าเฉลี่ย	2.16	2.13	2.30



รูปที่ 3 แสดงการฉีกขาดของชั้นทดสอบ

5. สรุปผลการทดลอง

การวิเคราะห์แนวของการเสียหายของวัสดุแซนวิช เกิดการฉีกขาดที่แน่นหนาด้วยแรงจากภายนอกที่ 3 และ จากการที่ 1-3 การทั้ง 3 ประเภทมีค่าความต้านทานแรงเฉือนใกล้เคียงกันมาก แต่ค่าของกาวที่ไม่ผสมโพลิอีนจะมีค่าที่น้อยกว่า กาวชนิดอื่นในทางกลุ่มเดียวบันทึกว่ากาวมีค่าการแห้งตัว (Drying Time) ที่มากกวากาวตัวอื่นทำให้การยึดติดของกาวไม่ดี แต่การทั้ง 3 ชนิดสามารถใช้ในการเชื่อมประizableได้ด้วยโครงสร้างวัสดุแซนวิชที่มีผิวนะกับบนและล่าง (Faces) ใช้วัสดุเหล็ก แผ่นรีดร้อน (SS400) ส่วนแกนกลาง (Core) ทำจากโพลีเมอร์รีดร้อน (SS400) ส่วนแกนกลาง (Core) ทำจากโพลีเมอร์

6. กิตติกรรมประกาศ

ผู้วิจัยขอขอบคุณ มหาวิทยาลัยเทคโนโลยีราชมงคลชั้นนำ คณะวิศวกรรมศาสตร์ ภาควิชาวิศวกรรมอุตสาหการ ที่คุณครุภักดิร่วมที่ได้ในการทดลองฯ ในงานวิจัยนี้

เอกสารอ้างอิง

- [1] Allen, H.G. 1969. Analysis and Design of Structural Sandwich Panels, Pergamon Press, London, UK.
- Bull, P. 2004. Damage Tolerance and Residual Strength of Composite Sandwich Structures. KTH Aeronautical and Vehicle Engineering, Stockholm, Sweden.
- [2] Pflung, J., Vagrimde, B. and Verpoest, I. 2002. Material efficiency and cost effectiveness of Sandwich Materials, Katholieke University, Leuven, Belgium.
- [3] Burman, M. 1998. Fatigue Crack Initiation and Propagation in Sandwich Structures. Division of Lightweight Structures, Royal Institute of Technology, Stockholm, Sweden.
- [4] Hohe, J. and Librescu, L. 2004. Core and Face-Sheet Anisotropy in Deformationand Buckling of Sandwich Panels. AIAA Journal, 42: 149-158.
- [5] Starliger, A. 1991. Development of Efficient Finite Shell Elements for Analysis of Sandwich Structures under Large Instabilities. VDI-Verlag GmbH, Duesseldorf, Germany.
- [6] Zenkert, D. 1997. The Handbook of Sandwich Construction, Engineering Materials Advisory Service, West Midlands, UK.
- DIN 53293. 1982. Pruefung von Kernverbunden: Biegeversuch, Deutsche Institut fuer Normung e.V.
- [7] David, E. and Lazar,A.(2003).Adhesive bonding between aluminium and polytetrafluoroethylene.Journal of Material Processing Technology 143-144,191-194
- [8] Charoenyut ,D. Carol A.Rubin and George T.Hahn(2003).Analysis of the Effects of thin Sealant Layers in Aircraft Structural Joint.J.AIAA.2216-2227
- [9] Takiguchi,M.and Yoshida,F.(2001).Plastic bending of adhesive-bonded sheet metals.Journal of Material Processing Technology.113,743-748.
- [10] Charoenyut, D. Carol A. Rubin and George T. Hahn (2003), Anlysis of the Effects of Thin Sealant Layers in Aircraft Structural Joint. J. ALAA.2216-2227
- [11] David, E and Lazar, A.(2003) Adhesive bonding between aluminium and polytetrafluoroethylene.Journal of Material Processing Technology.143-144,191-194
- [12] Sawa, T., Liu, J., Nakano, K. and Tanaka, J.(1999). A two-dimensional stress analysis of single – lap adhesive joint of dissimilar adherends subjected to tensile load. J. Adhesion Sci. Technol.14,44-66
- [13] Takiguchi, M. and Yshida, F.(2001).Plastic bending of adhesive-bonded sheet metals.Journal of Material Processing Technology.113,743-748

ประวัติผู้เขียน

ชื่อ – สกุล

วัน เดือน ปีเกิด

ที่อยู่

การศึกษา

ประสบการ์ทำงาน

พ.ศ. 2546 – พ.ศ. 2547

พ.ศ. 2547 – พ.ศ. 2552

พ.ศ. 2552 – ปัจจุบัน

นายมนตรี การพัสดุชี

6 เมษายน 2521

75/5 หมู่ 5 ตำบลสามารถวิชัย อำเภอเสนา จังหวัดพระนครศรีอยุธยา
13110

สำเร็จการศึกษาวิศวกรรมศาสตรบัณฑิต

สาขาวิศวกรรมเครื่องกล มหาวิทยาลัยคริสต์ปัทุม ปี พ.ศ. 2546

บริษัท ไทยเช็นทรัลเคมี จำกัด (มหาชน)

บริษัท ไบนันเพาเวร์ชิน เคมีคอล จำกัด

บริษัท ยูเนี่ยนเบลท์อินเตอร์เนชันแนล จำกัด

